



T.C.

**ESKİŞEHİR OSMANGAZİ ÜNİVERSİTESİ
SAĞLIK BİLİMLERİ ENSTİTÜSÜ
TİBBI GENETİK ANABİLİM DALI**

**MALİGN MELANOMA OLGULARINDA EGFR, TP53
P16 VE MDM2 GENLERİNİN FISH İLE
DEĞERLENDİRİLMESİ**

**TEZ TİPİ
YÜKSEK LİSANS TEZİ**

TOLGA TÖRE

**DANIŞMAN
DOÇ.DR. BEYHAN DURAK ARAS**

NİSAN 2018



T.C.
ESKİŞEHİR OSMANGAZİ ÜNİVERSİTESİ
SAĞLIK BİLİMLERİ ENSTİTÜSÜ
TİBBİ GENETİK ANABİLİM DALI

**MALİGN MELANOMA OLGULARINDA EGFR, TP53,
P16 VE MDM2 GENLERİİNİN FISH İLE
DEĞERLENDİRİLMESİ**

**TEZ TİPİ
YÜKSEK LİSANS TEZİ**

TOLGA TÖRE

**DANIŞMAN
DOÇ.DR. BEYHAN DURAK ARAS**

KABUL VE ONAY SAYFASI

Tolga TÖRE 'nin Yüksek Lisans olarak hazırladığı “**Malign Melanoma Olgularında EGFR, TP53, P16 VE MDM2 Genlerinin FISH İle Değerlendirilmesi**” başlıklı bu çalışma Eskişehir Osmangazi Üniversitesi Lisansüstü Eğitim ve Öğretim Yönetmeliği'nin ilgili maddesi uyarınca değerlendirerek “**KABUL**” edilmiştir.

20.04.2018

Üye : Prof. Dr. Sevilhan ARTAN

Üye : Doç. Dr. Beyhan DURAK ARAS (Danışman)

Üye : Dr.Öğr.Üy. Onur EROĞLU

Eskişehir Osmangazi Üniversitesi Sağlık Bilimleri Enstitüsü Yönetim Kurulu'nun
27.04.2018 tarih ve .../.../... sayılı kararı ile onaylanmıştır.

Prof. Dr. Hasan Veysi GÜNEŞ
Enstitü Müdürü

Özet

Malign melanom, melanin üretmekle sorumlu olan melanositlerin değişimi ile meydana gelen kanser türündür. Mortalite oranı yüksek olan malign melanomun her yıl insidansında artış olacağı düşünülmektedir. Bu çalışmada, malign melanom olgularında EGFR, P16, TP53 ve MDM2 gen bölgelerine ait aberasyonların FISH yöntemi ile ortaya konulması amaçlanmıştır.

Histopatolojik olarak tanı almış 16 malign melanom ve 24 melanositik nevüs olgusu çalışmaya dahil edilmiştir. Hasta ve kontrollere ait deparafinize edilmiş doku preparatlarında FISH yöntemi kullanılarak EGFR, TP53, P16 ve MDM2 bölgelerine ait kopya sayısı değişiklikleri incelenmiştir.

Elde edilen sonuçlara göre 16 malign melanom olgusunun 7'sinde (%43,75) en az 1 aberasyon, 4'ünde en az 2 aberasyon gözlenmiştir. Yirmidört melanositik nevüs olgusunun 4'ünde (%17) aberasyon saptanmıştır.

Malign melanom olgularında en sık gözlenen anomali EGFR gen amplifikasyonu (%43,75) olarak saptanmıştır. Malign melanom ve melanositik nevüs arasında EGFR amplifikasyonu açısından anlamlı bir fark bulunmuştur. Malign melanom olgularında araştırmış olduğumuz gen kopya sayısı anomalileri (EGFR amplifikasyonu, MDM2 amplifikasyonu, TP53 delesyonu, P16 delesyonu) ile histopatolojik özellikler (ülser, lenf infiltrasyonu, büyümeye tipi) ve kanser tipi arasında bir ilişki gözlenmemiştir. Ancak malign melanomlarda EGFR ve MDM2 genlerinin koamplifikasyonu arasında istatistiksel olarak anlamlı ve orta düzeyde bir uyum bulunmuştur. Ayrıca TP53 gen delesyonu ile MDM2 gen amplifikasyonu arasında istatistiksel olarak anlamlı ve orta düzeyde bir uyum bulunmuştur. Çalışmamız sonucunda melanom ve nevüs tanısı ayrımda EGFR gen amplifikasyonun kullanılabilir olabileceği ve MDM2 geni ile EGFR geni arasında bulunan uyumun moleküller düzeyde de araştırılarak tümör oluşum ve gelişimi hakkında yeni ipuçları elde edilebileceği düşünülmektedir.

Anahtar kelimeler: Malign melanom, EGFR, TP53, MDM2, P16, FISH

Summary

Malignant melanoma is a type of cancer that occurs with the change of melanocytes which are responsible for producing melanin. The incidence of malignant melanoma with high mortality rate is thought to increase every year. The aim of this study is to determine the aberrations of EGFR, P16, TP53 and MDM2 gene regions in malignant melanoma cases by FISH method.

Histopathologically diagnosed 16 malignant melanomas and 24 melanocytic nevi cases were included in the study. The number of copies of EGFR, TP53, P16 and MDM2 regions were examined by FISH analyses in deparaffinized tissue preparations of patients and controls.

As a results, out of 16 malign melanoma cases, 7 cases (43,75%) had at least 1 aberration, 4 caeses had at least 2 aberrations. Aberrations were observed in 4 of 24 (17%) melanocytic nevus cases.

In conclusion; the most common anomaly in malignant melanoma cases were found to be EGFR gene amplifications (43,75%). A significant difference was found in terms of EGFR amplification between malignant melanoma and melanocytic nevus. No significant correlation was found between the number of gene copy number anomalies (EGFR amplification, MDM2 amplification, TP53 deletion, P16 deletion) or histopathologic features (ulcer, lymph infiltration, growth type) and cancer type in malign melanoma cases. However, there was a statistically significant and moderate correlation between the co-amplification of EGFR and MDM2 genes in malignant melanomas. In addition to this, a statistically significant and moderate correlation between the TP53 gene deletion and MDM2 gene amplification was found. As a result of our study, it is thought that EGFR gene amplifications can be used in differential diagnosis of melanoma and nevus, and the correlation of EGFR and MDM2 genes that we found can give a hint about the tumor formation and development if it'll be investigated with molecular analyses.

Key words: Malignant melanoma, EGFR, TP53, MDM2, P16, FISH

İÇİNDEKİLER

| | |
|---|------|
| ÖZET..... | III |
| SUMMARY..... | IV |
| İÇİNDEKİLER..... | V |
| TABLOLAR DİZİNİ | VII |
| ŞEKİLLER DİZİNİ..... | VIII |
| SİMGİ VE KISALTMALAR DİZİNİ..... | IX |
| | |
| 1- GİRİŞ ve AMAÇ | 1 |
| 2- GENEL BİLGİLER..... | 2 |
| 2.1- Kanser..... | 2 |
| 2.2- Kanser Türleri | 2 |
| 2.3- Melanositik Proliferasyonlar | 3 |
| 2.3.1. <i>Malign Melanom</i> | 5 |
| 2.4- Melanomda genetik değişimler | 7 |
| 2.4.1. <i>EGFR ve melanom</i> | 7 |
| 2.4.2. <i>TP53 ve melanom</i> | 9 |
| 2.4.3. <i>MDM2 ve melanom</i> | 10 |
| 2.4.4. <i>P16 ve melanom</i> | 11 |
| 3- GEREÇ VE YÖNTEM | 12 |
| 3.1- Gereç | 12 |
| 3.1.1. <i>Araştırma grubu bireyleri</i> | 12 |
| 3.1.2. <i>Kullanılan araçlar</i> | 12 |
| 3.1.3. <i>Kullanılan cam malzemeler</i> | 12 |
| 3.1.4. <i>Kullanılan kimyasal maddeler</i> | 12 |
| 3.1.5 <i>Kullanılan probalar</i> | 13 |
| 3.2- Yöntem | 13 |
| 3.2.1. <i>Materyel alımı</i> | 13 |
| 3.2.2. <i>FISH analizi</i> | 13 |
| 3.2.2.1. <i>FISH tekniğinin uygulanması</i> | 13 |
| 3.2.2.1.1. <i>Preperatların ön yıklanması</i> | 13 |
| 3.2.2.1.2. <i>Denatürasyon ve Hibrizasyon</i> | 13 |
| 3.2.2.1.3. <i>Hibrizasyon sonrası yıkamalar</i> | 14 |

| | |
|--|-----------|
| 3.2.2.1.4. Hibrize olan bölgelerin görünür kılınması..... | 14 |
| 3.2.2.1.5. Präparatların Mikroskopta İncelenmesi..... | 14 |
| 3.2.2.1.6. Değerlendirme..... | 14 |
| 3.2.2.1.7. Kullanılan stok solüsyonlar | 15 |
| 3.3- İstatistiksel Değerlendirme | 16 |
| 4- BULGULAR | 17 |
| 4.1- FISH Analiz Sonuçları..... | 17 |
| 4.1.1. EGFR geni için FISH sonuçları | 22 |
| 4.1.2. TP53 gen bölgesi için FISH sonuçları..... | 22 |
| 4.1.3. P16 gen bölgesi için FISH sonuçları | 23 |
| 4.1.4. MDM2 gen bölgesi için FISH sonuçlar..... | 23 |
| 4.2- İstatistiksel Değerlendirme Sonuç | 24 |
| 5- TARTIŞMA..... | 26 |
| 5.1- Olgularda FISH ile Bulunan Aberasyonların Değerlendirilmesi | 26 |
| 5.2- Melanom Olgalarında EGFR gen kopya sayısının oranlarının karşılaştırılması..... | 29 |
| 5.2- Melanom olgularında P16 yeniden düzenlenmesinin oranın karşılaştırılması..... | 30 |
| 5.3- Melanom olgalarında TP53 yeniden düzenlenmesinin oranın karşılaştırılması..... | 31 |
| 5.4- Melanom olgalarında MDM2 kopya sayısının oranlarının karşılaştırılması..... | 32 |
| 6- SONUÇ VE ÖNERİLER | 33 |
| KAYNAKLAR DİZİNİ..... | 34 |
| ÖZGEÇMİŞ..... | 38 |

Tablolar Dizini

| Tablo | Sayfa |
|--|-------|
| Tablo 2.1. Melanositik nevüslerin sınıflandırılması | 4 |
| Tablo 2.2. Malign melanomların sınıflandırılması | 5 |
| Tablo 3.1. Carnoy's fiksatif solüsyon..... | 15 |
| Tablo3.2. Ön yıkama solüsyonları | 15 |
| Tablo3.3. Hibrizasyon sonrası kullanılan solüsyonlar | 15 |
| Tablo 3.4. Görüntüleme sistemi solüsyonu | 15 |
| Tablo 4.1. Malign melanom olgularına ait yaş, cinsiyet ve tanı bilgileri | 18 |
| Tablo 4.2. Melanositik nevüs olgularına ait yaş, cinsiyet ve tanı bilgileri | 19 |
| Tablo 4.3. Malign melanom olgularına ait FISH sonuçları..... | 20 |
| Tablo 4.4. Melanositik nevüs olgularına ait FISH sonuçları | 21 |
| Tablo 4.5. EGFR amplifikasyonun malign melanom ve melanositik nevüs sonuçlarının karşılaştırılması | 25 |

Şekiller Dizini

Şekil

Sayfa

| | |
|--|----|
| Şekil 2.1. Avrupa'da kanser oranları..... | 5 |
| Şekil 2.2. Türkiye'de belirli merkezlerde 2004 ile 2008 yılları arasında erkek bireylerin malign melanom sıklığı. | 6 |
| Şekil 2.3. Türkiye'de belirli merkezlerde 2004 ile 2008 yılları arasında kadın bireylerin malign melanom sıklığı. | 6 |
| Şekil 2.4. Tirozin kinaz reseptör yolakları. | 7 |
| Şekil 2.5. EGF'nin EGFR reseptörüne bağlanmasıyla başlayan olaylar.8 | |
| Şekil 2.6. Melanomada TP53 tümör süpresör geninin ifadesinin bloklanması mekanizmaları | 9 |
| Şekil 2.7. ARF-MDM2-TP53 yolağı | 11 |
| Şekil 4.1. Malign melanom olgularına ait FISH sonuçları oranı | 20 |
| Şekil 4.2. Melanositik nevüs olgularına ait FISH sonuçları oranı..... | 21 |
| Şekil 4.3. Melanom örneklerinde EGFR gen bölgesinin amplifikasyonu FISH analiz görüntüsü | 22 |
| Şekil 4.4. Melanom örneklerinde TP53 gen bölgesinin delesyonu FISH analiz görüntüsü | 23 |
| Şekil 4.5. Melanom örneklerinde P16 gen bölgesinin delesyonu FISH analiz görüntüsü | 23 |
| Şekil 4.6. Melanom örneklerinde MDM2 gen bölgesinin amplifikasyonu FISH analiz görüntüsü | 24 |

Simge ve Kısalmalar Dizini

| | |
|------|--------------------------------------|
| CEP | Centromere |
| DAPI | 4'6'-diamino-2-fenilindol |
| EGF | Epidermal growth factor |
| EGFR | Epidermal growth factor receptor |
| FISH | Florence İn Situ Hybridization |
| gr | Gram |
| MDM2 | Mouse Double Minute 2 |
| ml | Millilitre |
| NaCl | Sodium Chloride |
| NaOH | Sodium Hydroxide |
| NGF | Neuronal growth factor |
| PBS | Phosphate Buffered Saline |
| PDGF | Platelet derived growth factor |
| P16 | Cyclin dependent kinase inhibitor 2A |
| TP53 | Tumor protein p53 |
| SSC | Saline-Sodium Citrate |
| WHO | World Health Organization |
| µl | Mikrolitre |

1- GİRİŞ ve AMAÇ

Deri kanserleri arasında yer alan malign melanomun sıklığı değişen iklim ve ultraviyole ışınlarına maruz kalma süresinin artması gibi nedenlerle her yıl toplumda görülme oranı artmaktadır. Mortalite oranı yüksek bir hastalıktır. Gelecekte iklim değişiklikleri ile beraber malign melanomaya yakalanma riskinin artacağı tahmin edilmektedir.

Melanositik lezyonlar; melanositik nevüsler ve malign melanom olmak üzere iki ana gruba ayrılır. Bu iki grupta kendi içerisinde farklı gruplara ayrılır ve bu alt grupların histopatolojik özellikleri farklılık göstermektedir. Fakat bu farklılıklara rağmen sadece histopatolojik yöntemlerle tanı konulması ve lezyonun benign veya malign karakter açısından ayrimının yapılması zor olduğu bilinmektedir. Bu yüzden malign melanomda genetik değişiklerin, tanı konulmasını kolaylaştırılacağı ve hastalığın patolojik etyolojisini açıklayabileceği düşünülmektedir.

Bu çalışmada, malign melanom olgularında EGFR, P16, TP53 ve MDM2 gen bölgelerine ait aberasyonların FISH yöntemi ile ortaya konulması amaçlanmıştır.

2- GENEL BİLGİLER

Kanser, kalp ve damar hastalıklarından sonra ölüm oranı en fazla olan hastalıktır. Her yıl Dünya'da on iki milyondan fazla kanser görülmekte olup, kanserin sebep olduğu ölümler yedi milyondan fazladır. Her yıl kanser hastalarının oranı artmaktadır. Kanser tanı ve tedavileri için her yıl yapılan çalışma sayısı artmakta ve kanser oluşum mekanizmaları keşfedilmektedir (İşik, 2014).

2.1- Kanser

Kanser kelime anlamı olarak, bir organ ya da dokudaki hücrelerin düzensiz çoğalmasıyla beliren kötü urlardır (Arsav, 2006). Kanser, hücrenin normal davranışlarını düzenleyen mekanizmaların bozulmasıyla ortaya çıkmaktadır. Bundan dolayı kanser özellikle moleküler ve hücresel düzeyde incelenmesi gereken bir hastalıktır (Cooper & Hausmen, 2006).

Kanser hücreleri, hücrenin normal davranışlarını kontrol eden sinyallere doğru tepkiyi göstermek yerine kontrollsüz çoğalmayı ve bölünmeyi sürdürerek, normal doku ve organları istila etmektedir. Kanser gelişimi birbirini izleyen çok aşamalı bir süreçtir. Genetik değişim sonucunda tek bir hücrenin anormal çoğalmasıyla tümör oluşumu başlar. Tümörün gelişmesi ise kontrollsüz çoğalmanın getirdiği yeni mutasyonlarla meydana gelmektedir. Her mutasyon sonucunda hücreler yeni özellikler kazanmaktadır. Çoğalma hızı, sağkalım, invazyon ve metastaz yeteneği gibi özellikler açısından avantajlı tümör hücre klonları ortaya çıkmaktadır. Bu olaya klonal seçim denir (Cooper & Hausmen, 2006).

2.2- Kanser Türleri

Kanser incelemelerinde en önemli konu tümörün selim veya malin olduğunu ayırt etmektir. Selim tümörler çevredeki dokuya ya da vücutun uzak bölgelerine yayılmadan oluşurlar. Malin tümörler ise hem çevredeki dokuya hem de kan ya da lenfatik sistem aracılığıyla vücutun diğer bölgelerine metastaz yaparlar.

Tümörler yerleşim yerine, doku tipine, histolojik yapısına göre üçe ayrılır;

1. Karsinomalar (epitelyum hücrelerinden kaynak alır)
2. Sarkomlar (Kemik, kas ya da konnektif doku gibi mezenşimal dokulardan köken alırlar)
3. Lösemi veya lenfomalar (kan ve immün sistem hücrelerinden gelişir) (Cooper & Hausmen, 2006).

2.3- Melanositik Proliferasyonlar

Deri, vücutumuzun en büyük organıdır. Organizma için koruyucu bir örtü olan deri aynı zamanda çevreye sinyal gönderip, çevreden sinyal alır. Dışarıdan gelen uyarıların algılanmasında görev yapmaktadır (Arsav, 2006).

Melanositler, derinin basal tabakasında, kıl follikülerinde, skuamoz mukozal membranların çoğunda ve leptomeninkslerde yer alan nöral krest kökenli hücrelerdir. Pigment üretimini sağlarlar (İşik, 2014).

Melanositlerin melanin sentezleyen organellerine melanozom denir. İmmatür melanositlere melanoblast ve melanini fagosite etmiş dermal makrofajlara melanofaj denir (İşik, 2014). Melaninler ikiye ayrılırlar. Elips şeklindeki melanozomlardan yapılan eumelanin, deri ile saçın kahverengi-siyah renginden sorumludur ve küre şeklindeki melanozomlardan yapılan pheomelanin deri ve saçın sarı-kırmızı renginden sorumludur (Erenler, 2010).

Melanositik proliferasyonlar; melanositler, nevüs hücreleri veya melanoma hücrelerinin bir veya daha fazlasının kombinasyonundan oluşmaktadır. Melanositlerin benign tümörleri genellikle melanositik nevüs olarak adlandırılırken, malign tümörleri melanom olarak adlandırılırlar (Anlar, 2012).

Melanositik nevüsleri sınıflandırılması tablo 2.1'de (Anlar, 2012) ve malign melanom sınıflandırılması tablo 2.2'de gibi yapılabilir (Boyle & Levin, 2008).

Tablo 2.1. Melanositik nevüslerin sınıflandırılması (Anlar,2012)

| Melanositik nevüsler |
|------------------------------|
| Sıradan melanositik nevüs |
| İntradermal |
| Junctional |
| Compound |
| Konjenital melanositik nevüs |
| Displastik nevüs |
| Balon hücreli nevüs |
| Özel yerleşimli nevüs |
| Akral deri nevüsü |
| Melanonychia Striata |
| Genital deri nevüsü |
| Spitz nevüs |
| Pigmente İğ Hücreli nevüs |
| Derin Penetre nevüs |
| Rekürren nevüs(Psödomelanom) |
| Halo nevüs |
| Mavi (Blue) nevüs |

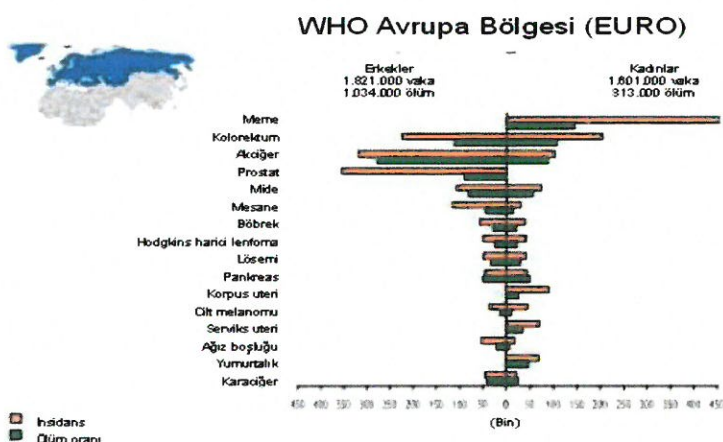
Tablo 2.2. Malign melanomların sınıflandırılması (Boyle & Levin, 2008)

| Malign melanom |
|--|
| Süperfisyel yayılan melanom |
| Nodüler melanom |
| Lentigo maligna |
| Akral lentijenöz malign melanom |
| Blue nevüsten malign melanom |
| Çocukluk çağrı melanom |
| Dev konjental nevüsten kaynaklanan melanom |
| Persistan melanom |
| Desmoplastik melanom |

2.3.1. Malign Melanom

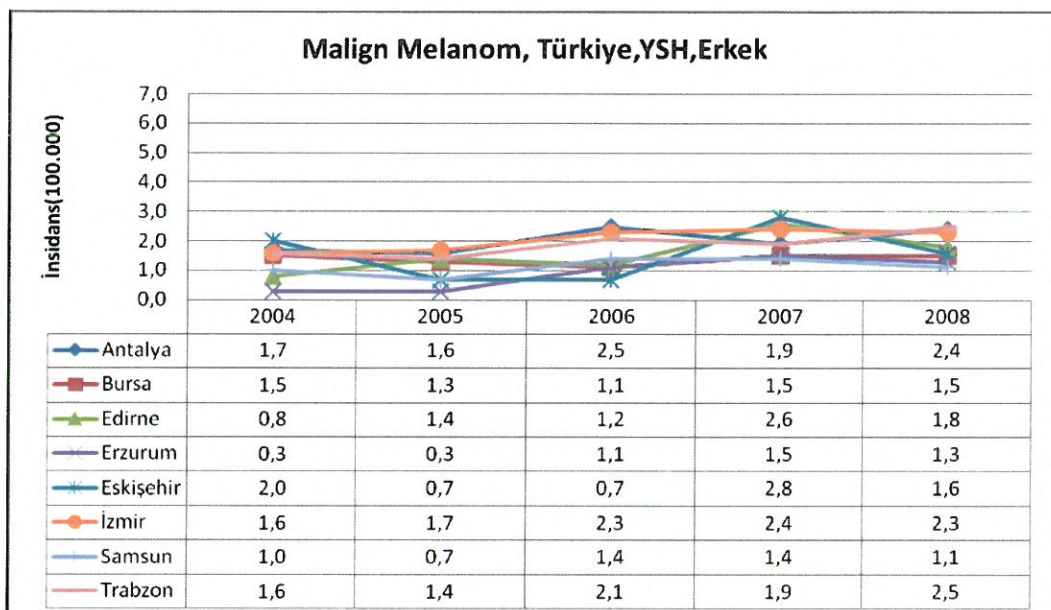
Malign melanom ciltte pigmentasyon yapan melanositlerin malign değişim kazanmasıyla gelişir. Deri dışında skumaoz hücre ile kaplı mükoz membranlarda, gözün uveal tabakasında ve beyinin leptomeninkslerinde de melanom gelişebilir (Erenler, 2010).

Dünya genelinde yeni melanom vakası her yüzbinde 2.8, melanoma bağlı ölümler ise yüzbin kişide 0.6 olarak bildirmektedir. Melanom her yıl insidansında artış gösteren bir hastalıktır. Avrupa'da her yıl altmışkibin yeni vaka saptanmaktadır. Güneş ışığına maruziyetin yüksek olduğu bölgelerde daha sık görülmesi, melanom gelişmesini ultraviyole ışınlarının tetiklediği düşünülmektedir (Çelik vd., 2012). Avrupa Bölgesinin kanser dağılımı Şekil 2.1. de gösterilmiştir.

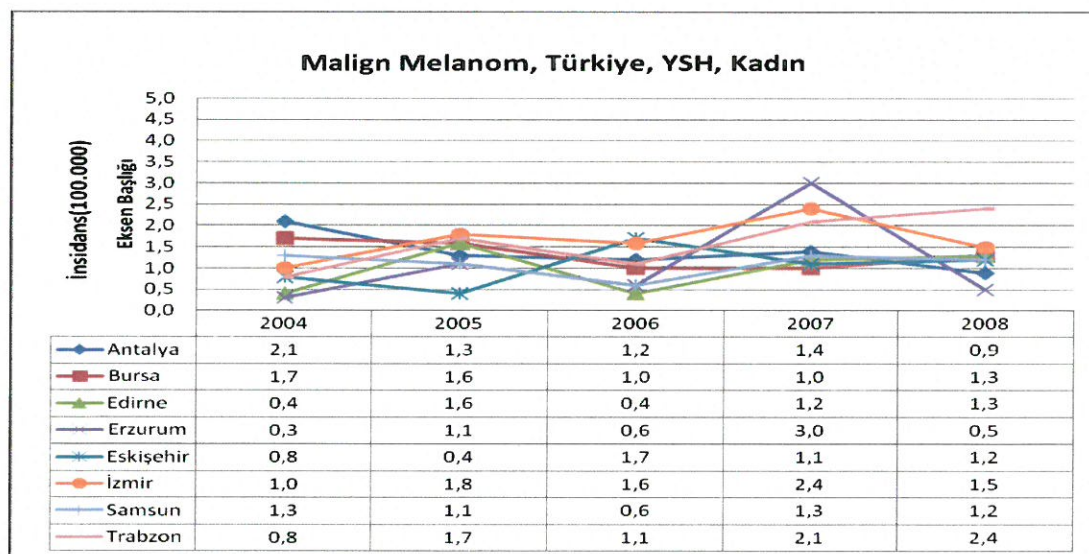


Şekil 2.1. Avrupa'da kanser oranları (Boyle & Levin, 2008).

Türkiye Kanser İstatistikleri (2008 yılına ait) verilerine göre ülkemizde melanom görülme sıklığı; erkeklerde yüzbinde 1,9, kadınlarda yüzbinde 1,3'dür. Türkiye'nin 2004'ten 2008 yılına kadar melanom hasta oranları şekil 2.2. (Erkek) ve şekil 2.3. (Kadın) gösterilmiştir (Çelik vd., 2012) .



Şekil 2.2. Türkiye'de belirli merkezlerde 2004 ile 2008 yılları arasında erkek bireylerin malign melanom sıklığı (Çelik vd., 2012).

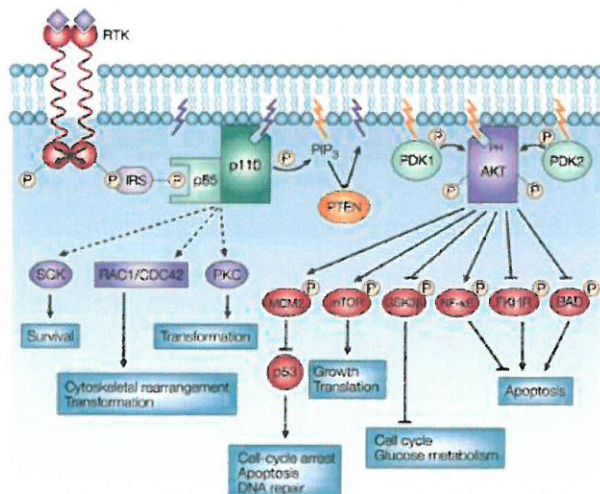


Şekil 2.3. Türkiye'de belirli merkezlerde 2004 ile 2008 yılları arasında kadın bireylerin malign melanom sıklığı (Çelik vd., 2012).

2.4- Melanomda genetik değişimler

Melanom patogenezi kompleksdir ve tam olarak anlaşılmamıştır. Bununla birlikte çevresel faktörlerle etkileşim (Ultraviyole ışınlara maruziyet gibi), genetik değişimlerin birikimi ve onkogenlerin aktivasyonu patogenezde rol oynamaktadır (Rigel, 2010).

Genomdaki genlerimizin yüzde yirmisi sinyal iletiminde görev almaktadır. Protein kinazlar membran yerleşimli ve sitoplazmik tirozin kinaz olmak üzere ikiye ayrılır. Protein kinazlar sinyal iletim sırasında protein fosforilasyonu gerçekleştirir ve katalitik özelliklerine göre tirozin ve serin/threonin olarak gruplandırılırlar. Membrana yerleşen proteinlere reseptör tirozin kinaz (RTK) denir (Cooper & Hausmen, 2006). Reseptör tirozin kinazlar substrat proteinleri tirozin kalıntılarından fosforiller. EGF (Epidermal büyümeye faktörü), NGF (Nöronal büyümeye faktörü), PDGF (Trombosit kaynaklı büyümeye faktörü), insülin ve bazı büyümeye faktörü reseptörleri tirozin kinazlardır. Tirozin kinaz reseptör yolakları şekil 2.4'te gösterilmektedir (Sümer-Turanlıgil & Uyanıkgil, 2010). Karsinogenez sürecinde sürekli ve kontrollsüz RTK aktivitesi söz konusudur (Cooper & Hausmen, 2006).



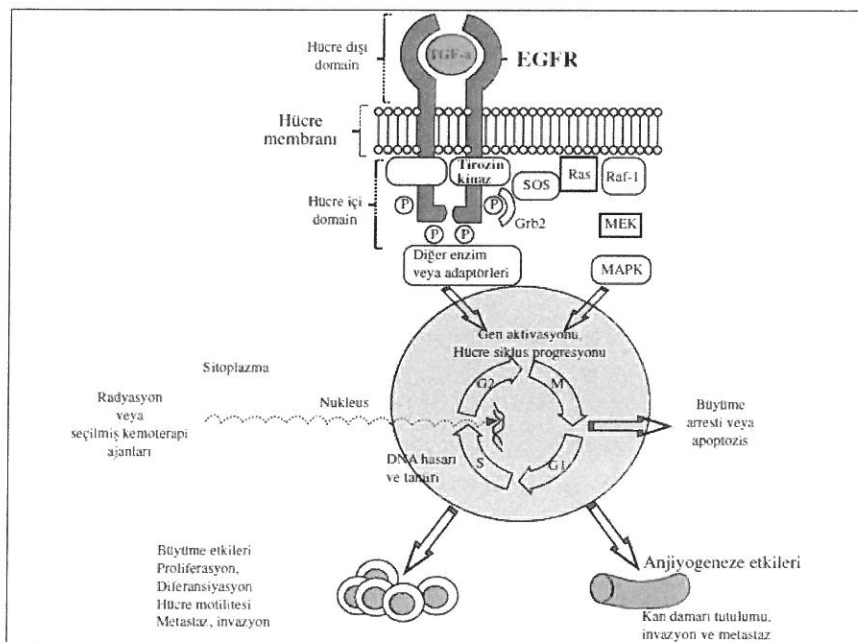
Şekil 2.4. Tirozin kinaz reseptör yolakları (Sümer-Turanlıgil & Uyanıkgil, 2010).

2.4.1. EGFR ve melanom

Epidermal büyümeye faktörü reseptörü (EGFR) geni, protein kinaz üst ailesini kodlayan gen ailesi içerisinde yer alır (Groeger et al., 1997). EGFR, 7p12 kromozomal bölgesinde yer alır ve yüz yetmiş kDa'luk transmembran tirozin kinaz reseptörünü kodlar (Köktürk, Öztürk, & Kırışoğlu, 2003). Kodlanan reseptör üç bölgeden oluşmaktadır;

1. N terminali; Hücre dışı ligandların bağlandığı bölge
2. Hidrofobik transmembran bölgesi
3. C terminali; Hücre içi yerleşimli tirozin kinaz aktivitesi(Boone et al., 2011).

Reseptörün N ucunda EGF (epidermal growth factor) ve TGF- α (transforming growth factor- α) otofosforilizasyon başlayarak tirozin kinaz aktivasyonu sağlanır. Bu aktivasyonla sinyal iletimi, hücre proliferasyonu ve tümör progresyonunda rol alan önemli olaylar başlar. EGF'nin EGFR reseptörüne bağlanmasıyla ortaya çıkan değişikler şekil 2.5'te gösterilmektedir(Köktürk et al., 2003).



Şekil 2.5. EGF'nin EGFR reseptörüne bağlanmasıyla başlayan olaylar(Köktürk et al., 2003).

Bir çok neoplazmada EGFR proteinin fazladan ifadesi tümör gelişimiyle ve kötü прогнозla ilişkilidir (Sequist, Bell, Lynch, & Haber, 2007). Genetik açıdan incelendiğinde EGFR gen amplifikasyonları ve mutasyonları karsinogenezde önemli rol oynadığı ortaya konmuştur (Rákosy et al., 2007).

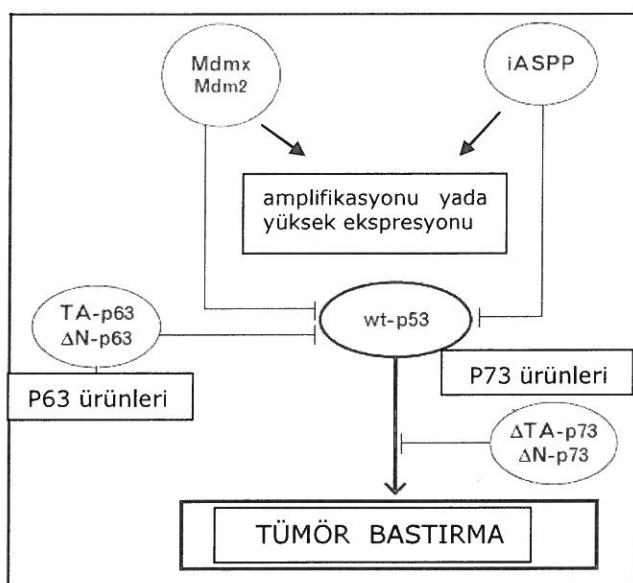
Malign melonamlarda yapılan EGFR çalışmalarında; EGFR geninin mutasyonu saptanmamışken, FISH yönetimiyle EGFR gen amplifikasyonu ve polizomisi bulunmuştur. Bu aberasyonların, malign melanomada tümör kalınlığı ve ülserasyonuyla ilişkili olduğu bulunmuştur (Boone et al., 2011).

2.4.2. TP53 ve melanom

TP53 geni kromozom 17p13'de yer almaktadır. TP53 geninin ürünü, hücre döngüsünün engellenmesi, DNA hasarının kavranması ve apoptozisin uyarılmasında rol oynar. TP53 geni tümör süpresör bir gendir (Cooper & Hausman, 2006). Karsinogenezde önemli role sahip olduğu bilinen TP53 yolağının inaktivasyonunun tüm kanser türlerinde etkili olduğu bilinmektedir (Vogelstein, Lane, & Levine, 2000).

TP53 geninin delesyon ya da mutasyonu tüm kanser çeşitlerinde gözükmez. Özellikle malign melanomlarda TP53 delesyon ya da mutasyonu çok ender gözükmemektedir (Freedman, Wu, & Levine, 1999). Chin ve arkadaşları malign melanom gelişiminde TP53 geninin etkisini göstermeyi amaçlayarak, mutant fareler ile gerçekleştirdikleri çalışmada melanom oluşması için TP53 fonksiyonel kaybının olması gerektiğini açıkça göstermişlerdir (Chin, Garraway, & Fisher, 2006).

Melanomlarda TP53 fonksiyonel inaktivasyonunu üç mekanizmayla açıklanabilir. Birincisi MDMX ve MDM2 genlerinin amplifikasyonu ya da yüksek ekspresyonudur. İkincisi TP53 gen ailesinde olan P63 ve P73 genlerinin ürünlerinin fazla ekspresyonudur. Özellikle P63 geninin isoform ürünlerinin ekspresyonu TP53 gen ifadesini baskılamaktadır. Ancak mekanizması tam olarak açıklanamamıştır. Üçüncüsü; TP53 inhibitörü olan proapoptotik iASPP'ın (Apoptosis stimulating protein of TP53) genleri melanom örneklerinde yüksek ekspresyonudur. Şekil 2.6'ta TP53 geninin ifadesinin bloklaması gösterilmektedir (Freedman et al., 1999).



Şekil 2.6. Melanomada TP53 tümör süpresör geninin ifadesinin bloklanması mekanizmaları (Freedman, Wu, & Levine, 1999'dan değiştirilerek alınmıştır.)

2.4.3. MDM2 ve melanom

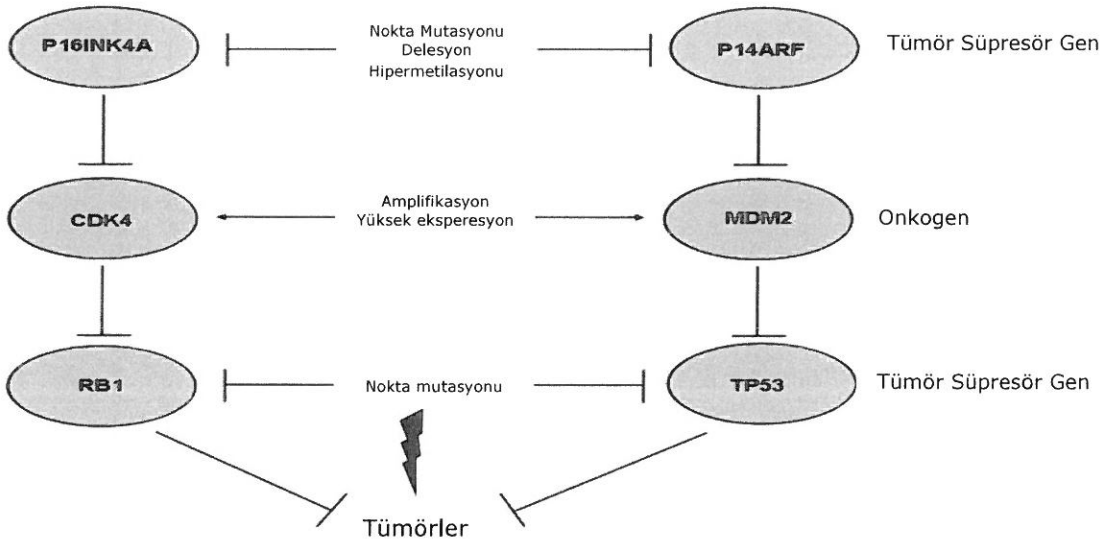
MDM2 geni kromozom 12q14'te yer almaktadır. Fare hücre hatlarındaki "double minute" (sentromer olmayan küçük kromatin parçacıkları) kromozomlarında tanımlanmıştır. MDM2 geni tümör oluşumuna neden olduğundan 1991 yılında onkogen olarak tanımlanmıştır (Eren, 2006).

MDM2 geninin görevi TP53 proteinin fonksiyonlarını düzenlemektir. Normal hücrelerde TP53 ve MDM2 gen ürünleri dengede sentezlenmektedir (Shieh, Ikeda, Taya, & Prives, 1997). MDM2 ve MDMX proteinleri embriyonik gelişim boyunca gerekli olan TP53 inhibitörleri olup, bu genlerin ekspresyonu TP53 tümör supressörün etkisini zayıflatır (Wade, Li, & Wahl, 2013).

TP53 ve MDM2 arasındaki etkileşimi inhibe eden modifikasyonlar; TP53'ün fosforilasyonu, MDM2'nin fosforilasyonu ve MDM2 fonksiyonunun P14ARF proteini ile engelenmesidir (Shieh et al., 1997). TP53 fosforilasyonu, TP53'ün DNA bağımlı protein kinaz (DNA-PK) tarafından 25. serin amino asitinden fosforile edildiği ve bu nedenle MDM2'nin TP53 ile bağlanamadığı bulunmuştur. Ayrıca iyonize edici radyasyon sonucunda da TP53 fosforilasyonu gerçekleşebilir(Hay & Meek, 2000). MDM2'nin fosforilasyonu sonucu, MDM2'nin iki önemli fonksiyonel bölgesi olan TP53 bağlanması ve ubikutinasyondan sorumlu bölgelerinde fosforilasyon olur (Mayo, Turchi, & Berberich, 1997). MDM2 çift zincirli DNA bağımlı protein kinaz (DNA-PK) tarafından 17. serin aminoasitinden fosforile edilir (Pomerantz & Schreber-agus, 1998). MDM2 fonksiyonunun P14ARF proteini ile engellenmesi, P14ARF geninin ürünü MDM2'ye bağlanarak TP53 ile ilişki kurmasını engeller ve MDM2'nin parçalanmasını da uyarmaktadır (Goldstein et al., 2006).

Yapılan bir çalışmada TP53 fonksiyonel kaybının MDM2 geninin amplifikasyonu sonucunda ortaya çıktıgı raporlanmıştır. Ayrıca MDM2 ve CDK4 gen amplifikasyonlarının melanom üzerindeki etkisini incelerken ARF-MDM2-TP53 yolağının işlevini doğrulamışlardır. Malign melanomlarda görülmeye sıklığının %3 ila %5 arasında olduğu belirtilmiştir. (Muthusamy et al., 2006). Bu ilişki şkil 2.7'de gösterilmiştir.

TP53 ve RB1 tümör süpresör yolakları



Şekil 2.7. ARF-MDM2-TP53 yolu (Muthusamy et al., 2006'dan değiştirilerek alınmıştır.)

2.4.4. P16 ve melanom

P16 geni kromozom 9p21.3'de yer almaktadır. P16 geni kritik tümör baskılıyıcı proteinler olan $P16^{INK4A}$ ve $P14^{ARF}$ kodlamaktadır. $P16^{INK4A}$, siklin bağımlı kinaz inhibitörü, retinoblastoma yoluğunda etkindir ve CDK4 ile CDK6'yi bağlayarak hücresel çoğalmada rol oynamaktadır. $P14^{ARF}$ ise TP53 aktive eder (Bogdan, Burg, & Böni, 2001). Ayrıca MDM2 fonksiyonu P16 proteinleri ile inhibe edilebilir ve böylelikle P16 genindeki fonksiyonel kayıp, MDM2 ve TP53 yoluğunda etkili olarak tümör oluşumunda rol oynayabilir (Hodis et al., 2012).

Germline P16 mutasyonları ailesel melanomlarda çok sıktır ve vakaların %40'ını oluşturmaktır (Bogdan et al., 2001). Yapılan bir diğer çalışmada ise P16'nın kaybı ya da mutasyonun melanomların çoğunda TP53 inaktivasyonuyla ilişkili olduğu bildirilmiş ve vakaların yaklaşık %12'sinde tespit edilmiştir (Nicholson, Gee, & Harper, 2001). Bugüne kadar birçok çalışma da nevüs ve spitz melanositik hücrelerinde P16 delesyonunu FISH yöntemiyle tespit edilebilediği gösterilmiştir (Sini et al., 2008).

3- GEREÇ VE YÖNTEM

3.1- Gereç

3.1.1. Araştırma grubu bireyleri

Çalışmamız 2008 ve 2013 yılları arasında Eskişehir Osmangazi Üniversitesi (ESOGÜ) Patoloji Anabilim Dalı'nda tanı almış kırk olguya ait deparafinize doku kesitleri ile ESOGÜ Tıbbi Genetik Anabilim Dalı'nda gerçekleştirilmiştir. Örneklerimizden yirmidörtü melanositik nevüs, onaltısı malign melanom olup, EGFR, TP53, P16 ve MDM2 bölgelerinin yeniden düzenlenmesi açısından FISH analizi ile araştırılmıştır. Yaş ortalaması $40,5 \pm 19,4$ olan yirmiyedi kadın ve on üç erkek bireylerin; yaş, tanı ve cinsiyetlerine ilişkin bilgiler tablo 4.1. ile tablo 4.2.'de yer almaktadır.

3.1.2. Kullanılan araçlar

- Elektronik terazi (Seuter, Ainworth-AA-250)
- Deep-Freeze (Heraeus)
- Etüp (Friocell MMM Med Center)
- Vortex (Janke and Kunkel, UF-2)
- pH Metre (Jenco)
- Su banyosu (Nüve)
- Floresan mikroskop (Olympus BX-61)
- Image Analyser (Cytovysion)
- Mikropipet (Eppendorf)
- Mikrosantrifüj (Eppendorf)
- Kronometre
- Pipet uçları
- HYCHROME (Glia Medikal)

3.1.3. Kullanılan cam malzemeler

- Beher (Beşyüz ml, bin ml)
- Erlenmayer (Beşyüz ml, bin ml)
- Mezür
- Yatay ve dikey şale

3.1.4. Kullanılan kimyasal maddeler

- Etanol (Merck)
- DAPI (Sigma)
- İmmersiyon yağı (Merck)
- $\text{Na}_3\text{C}_6\text{H}_5\text{O}_7 \cdot 2\text{H}_2\text{O}$ (Carlo Erba)
- NaCl (Merck)
- NaOH (Merck)
- KH_2PO_4 (Merck)

- Methanol (Merck)
- Rubber Cement (Marabu Fixogum)
- VECTASHIELD
- Tween 20 (Sigma)

3.1.5 Kullanılan probalar

- Vysis LSI EGFR SpectrumOrange/Vysis CEP 7 SpectrumGreen Probe (7p11.2-p12/CEP7)(Abbot molecular)
 - P16 (CDKN2A) Deletion (9p21.3/CEP9)(Cytocell)
 - SPEC MDM2/CEN 12 (12q15/CEP12) (ZytoVision)
 - SPEC TP53/CEN 17 (17p13/CEP17) (ZytoVision)

3.2- Yöntem

Nevüs ve malign melanom örnekleri FISH yöntemi ile analiz edilmiştir.

3.2.1. Materyel alımı

Malign melanom ve melanositik nevüs olgularına ait doku materyali ESOĞÜ Patoloji AD.'dan deparafnize edilmiş 4 μ 'luk kesitler halinde moleküler sitogenetik laboratuvarımıza ulaştırılmıştır.

3.2.2. FISH analizi

3.2.2.1. FISH tekniğinin uygulanması

FISH tekniğinde Rieder ve arkadaşları tarafından geliştirilen protokol modifiye edilerek uygulanmıştır (Rieder vd., 1998).

3.2.2.1.1. Preperatların ön yıklanması

Preperatlar sırasıyla 2XSSC solüsyonundan ve %70 - %85 - %100'luk alkol serisinden ikişer dakika olmak üzere geçilerek dehidre edilmiştir.

3.2.2.1.2. Denatürasyon ve Hibrizasyon

Probun bulunduğu 1 ml. lik tüpler santrifüj edilerek tüm probun dibe çökmesi sağlanmıştır. Ön yıkaması biten preparatlarda belirlenen alana prob (5 μ l) eklenmiş ve yirmidört mm'lik lamel kapatılmıştır. HyChrome hibrizasyon cihazında 75°C'de 10 dakika denatürasyon yapılmıştır. İşlem bittikten sonra preparatlar nemli ortamda onsekiz saat hibridizasyona bırakılmıştır.

3.2.2.1.3. Hibrizasyon sonrası yıkamalar

Hibrizasyonu tamamladıktan sonra, preparatlar alınarak üstündeki lamelleri 2XSSC'de çıkartılmış, 0,4XSSC solüsyonu içerisinde 72°C'de 2 dakika bekletilmişlerdir. Daha sonra 2XSSC/T-20 solüsyonunda kırkbeş saniye bırakılmıştır.

3.2.2.1.4. Hibze olan bölgelerin görünür kılınması

Hibrizasyon sonrası yıkamaları yapılan preparatlar 4XSSC/DAPI solüsyonunda iki dakika bekletilmiş, süre sonunda 20µl. yüzey boyası (VECTASHIELD) damlatılıp lamel kapatılmıştır. İnceleme aşamasına kadar preparatlar -20°C'de ve karanlıkta bekletilmişlerdir.

3.2.2.1.5. Präparatların Mikroskopta İncelenmesi

Präparatlar Olympus BX-61 Floresan mikroskobunda uygun filtrelerle incelenmiştir. Floresan mikroskoba bağlı soğutmalı kamera ve görüntü analiz sistemi aracılığıyla her olguya ilişkin FISH analiz verileri incelenmiş, fotoğraflanmış ve arvişlenmiştir.

3.2.2.1.6. Değerlendirme

Malign melanom ve melanositik nevüs olgularından alınan örnekler FISH yöntemi uygulanmış, tanılarına ilişkin belirlenen bölgelerde en az elli hücre analiz edilmiştir. Kullandığımız problemler; malign melanom olgularına ait kesitlerde patologların belirlediği malign olmayan bölgelerde ve benign dokularda da lezyon dışı bölgelerde analiz edip, ilgili istatistiksel hesaplama sonrası %7-10 olacak şekilde belirlenmiştir. Yapılan analiz sonucu %10'un üzerinde bulunan her farklı sinyal paterni anormali olarak değerlendirilmiştir.

Değerlendirme esnasında her bir gen bölgesi için sinyal sayısı; eğer 2'den az ise delesyon, 4 ve daha fazla ise amplifikasyon olarak kabul edilmiştir.

Hastaların histopatolojik özellikleri ile FISH sonuçları arasındaki ilişki istatistiksel olarak değerlendirilmiştir. Değerlendirmeye alınan histopatolojik özellikler aşağıda belirtilmiştir;

Tümör Kalınlığı (Breslow Kalınlığı): Tümörün üzerinde bulunan epidermis stratum granulosum tabakasının üst kısmından tümörün tabanına kadar olan mesafenin mm cinsinden ölçümüdür.

Clark Level: Kütanöz ve subkütanöz yapılardaki histopatolojik tümör invazyon derinliğini göstermektedir.

Mitoz oranı: Bu oran, on büyük büyütme alanındaki mitoz sayısı veya invaziv tümörün mm^2 'si başına düşen mitoz sayısı olarak değerlendirilir.

Lenf infiltrasyonu: Melanoma karşı gelişen immün yanıt, vertikal büyümeye fazındaki tümörün içinde ve tabanındaki lenfositik infiltrasyon şeklinde kendini gösterir (Anlar,2012).

3.2.2.1.7. Kullanılan stok solüsyonlar

Tablo 3.1. Carnoy's fiksatif solüsyon

| | |
|-------------|---------|
| Metanol | 3 birim |
| Asetik asit | 1 birim |

Tablo3.2. Ön yıkama solüsyonları

| | | |
|------------------|------------------|----------|
| 20XSSC solüsyonu | NaCl (3M) | 175,3 gr |
| | TriSodyum Sitrat | 88,24 gr |
| | Distile su | 1000 ml |
| 2XSSC solüsyonu | 20XSSC | 20 ml |
| | Distile su | 180 ml |

Tablo3.3. Hibrizasyon sonrası kullanılan solüsyonlar

| | | |
|--------------------------|------------|-------------------|
| 0,4XSSC | 20XSSC | 20 ml |
| | Distile su | 180 ml |
| 2XSSC | 20XSSC | 4 ml |
| | Distile su | 196 ml |
| 2XSSC/Tween-20 solüsyonu | 20XSSC | 20 ml |
| | Distile su | 180 ml |
| | Tween 20 | 100 μl |

Tablo 3.4. Görüntüleme sistemi solüsyonu

| | | |
|-------------------------|------------|-------------------|
| DAPI/Antifade solüsyonu | 2XSSC | 20 ml |
| | DAPI | 100 μl |
| | Distile su | 80 ml |

3.3- İstatistiksel Değerlendirme

İstatistiksel analizler IBM SPSS 21.0 paket programı kullanılarak gerçekleştirilmiştir. Sürekli değişkenlere ait özet değerler ortalama $40,5 \pm 19,4$ ya da medyan (Q_1-Q_3) olarak verilmiştir. Gen bögelerindeki aberasyonların aralarındaki uyum Kappa analiziyle, kategorik değişkenler arasındaki ilişki Ki-kare testiyle araştırılmıştır. Verilerin normal dağılıma uyumu Shapiro Wilk testiyle araştırılmıştır. Bağımsız grupların karşılaştırılması Mann Whitley U testi ile yapılmıştır. $P < 0,05$ olarak elde edilen sonuçlar anlamlı kabul edilmiştir.

4- BULGULAR

Çalışmamız Eskişehir Osmangazi Üniversitesi Tıp Fakültesi Tibbi Genetik Anabilim Dalı'nda, Patoloji Anabilim Dalı'nda tanısı konulmuş melanositik lezyon olgularına ait örnekler çalışarak gerçekleştirılmıştır. Çalışma grubumuzu; onaltı malign ve yirmidört benign doku örneği oluşturmuştur. Çalışmamızda, malign melanom ve melanositik nevüs olgularında EGFR, P16, TP53 ve MDM2 gen bölgelerindeki aberasyonlar FISH yöntemi ile analiz edilmiştir.

Çalışmamızda yer alan tüm olgularımızın yaş ortalaması $40,5 \pm 19,4$ olup, bir olgumuzun yaş bilgisine ulaşılammamıştır. Olgu grubumuz on üç erkek ve yirmiyedi kadından oluşturulmuştur. Aşağıdaki tablo 4.1. ve 4.2.'de olgularımızın yaş, tanı ve cinsiyetlerine ilişkin bilgiler yer almaktadır.

Çalıştığımız tüm olgulardan elliser hücre analiz edilmiştir.

4.1- FISH Analiz Sonuçları

Elde ettiğimiz sonuçlara göre malign melanom olgularının 7'sinde (%43,75) en az bir aberasyon saptanmıştır. Bir olguda üç aberasyon, üç olguda iki aberasyon görülmüştür. Diğer çalışma grubumuzu oluşturan yirmidört melanositik nevüs olgularından yirmi tanesi normal bulunmuştur. Dört olguda ise en az bir parametre açısından anormal olduğu saptanmıştır.

Malign melanom olgularının FISH sonuçları tablo 4.3.de, melanositik nevüslerin FISH sonuçları tablo 4.4.'de verilmiştir. Malign melanom olgularının FISH sonuçlarının oranları şekil 4.1.'de, melanositik nevüslerin FISH sonuç oranları şekil 4.2.'de verilmiştir.

Tablo 4.1. Malign melanom olgularına ait yaş, cinsiyet ve tanı bilgileri

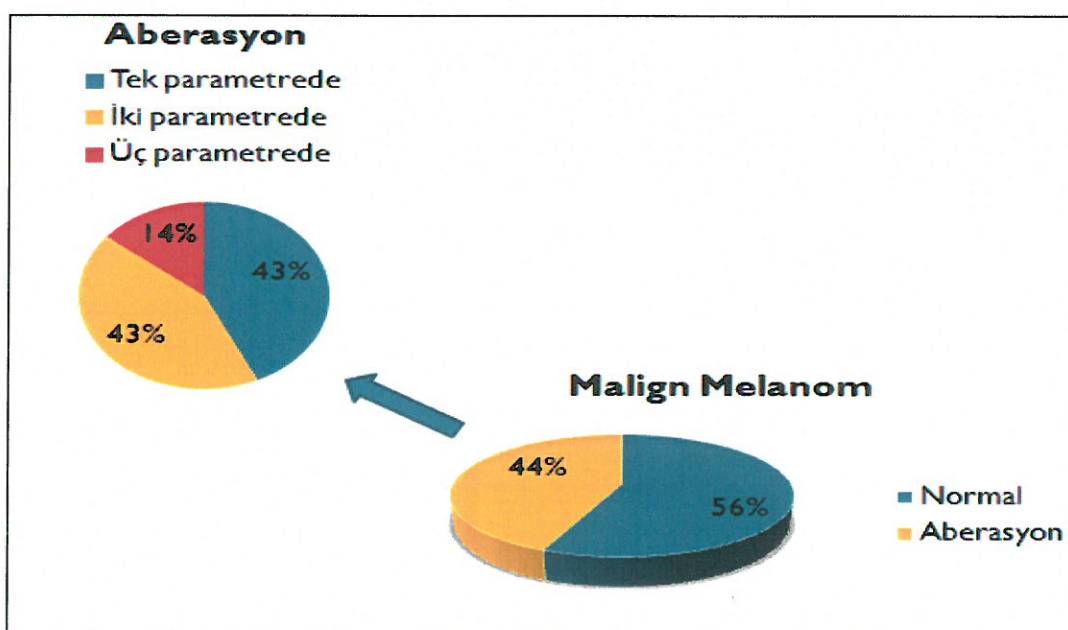
| Olgu sayısı | Yaş | Cinsiyet | Tanı | Alttipi |
|-------------|-----|----------|----------------|-------------------------------------|
| 1 | 57 | Erkek | Malign melanom | Nodüler tip malign melanom |
| 2 | 57 | Kadın | Malign melanom | - |
| 3 | 66 | Erkek | Malign melanom | Yüzeyel yayılan melanom |
| 4 | 53 | Erkek | Malign melanom | Yüzeyel yayılan melanom |
| 5 | 51 | Kadın | Malign melanom | - |
| 6 | 77 | Kadın | Malign melanom | Lentigo malign melanom |
| 7 | 61 | Kadın | Malign melanom | Akral lentijinöz tip malign melanom |
| 8 | 61 | Kadın | Malign melanom | Yüzeyel yayılan melanom |
| 9 | 66 | Kadın | Malign melanom | Lentigo malign melanom |
| 10 | 32 | Kadın | Malign melanom | - |
| 11 | 70 | Erkek | Malign melanom | - |
| 12 | 77 | Kadın | Malign melanom | Akral lentijinöz tip malign melanom |
| 13 | 42 | Kadın | Malign melanom | Akral lentijinöz tip malign melanom |
| 14 | 66 | Erkek | Malign melanom | Nodüler tip malign melanom |
| 15 | - | Kadın | Malign melanom | Nodüler tip malign melanom |
| 16 | 71 | Erkek | Malign melanom | - |

Tablo 4.2. Melanositik nevüs olgularına ait yaş, cinsiyet ve tanı bilgileri

| Olgu sayısı | Yaş | Cinsiyet | Tanı | Alttipi |
|-------------|-----|----------|-------------------|---|
| 17 | 16 | Kadın | Melanositik nevüs | Spitz nevüs |
| 18 | 20 | Kadın | Melanositik nevüs | Displastik kompound nevüs |
| 19 | 33 | Kadın | Melanositik nevüs | Kompound nevüs |
| 20 | 48 | Kadın | Melanositik nevüs | Kompound nevüs |
| 21 | 16 | Kadın | Melanositik nevüs | Kompound nevüs |
| 22 | 34 | Erkek | Melanositik nevüs | Displastik kompound nevüs |
| 23 | 35 | Kadın | Melanositik nevüs | Displastik kompound nevüs |
| 24 | 11 | Kadın | Melanositik nevüs | Spitz nevüs |
| 25 | 27 | Kadın | Melanositik nevüs | Displastik kompound nevüs |
| 26 | 35 | Kadın | Melanositik nevüs | Displastik kompound nevüs |
| 27 | 28 | Erkek | Melanositik nevüs | Displastik kompound nevüs |
| 28 | 23 | Kadın | Melanositik nevüs | Displastik kompound nevüs |
| 29 | 34 | Erkek | Melanositik nevüs | Kompound nevüs |
| 30 | 20 | Kadın | Melanositik nevüs | Kompound nevüs |
| 31 | 14 | Kadın | Melanositik nevüs | Spitz nevüs |
| 32 | 29 | Kadın | Melanositik nevüs | Spitz nevüs ile uyumlu junctional nevüs |
| 33 | 23 | Erkek | Melanositik nevüs | Kompound nevüs |
| 34 | 8 | Erkek | Melanositik nevüs | Displastik kompound nevüs |
| 35 | 42 | Kadın | Melanositik nevüs | İntradermal nevüs |
| 36 | 35 | Kadın | Melanositik nevüs | Displastik kompound nevüs |
| 37 | 38 | Kadın | Melanositik nevüs | Displastik kompound nevüs |
| 38 | 49 | Kadın | Melanositik nevüs | İntradermal nevüs |
| 39 | 35 | Erkek | Melanositik nevüs | İntradermal nevüs |
| 40 | 20 | Erkek | Melanositik nevüs | Displastik kompound nevüs |

Tablo 4.3. Malign melanom olgularına ait FISH sonuçları

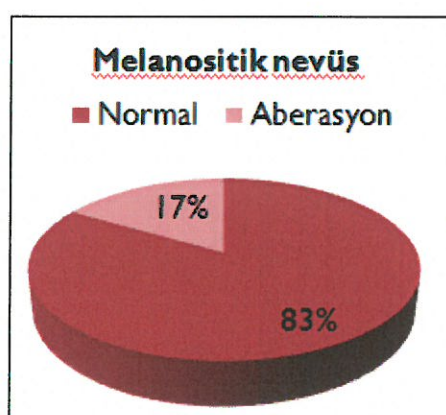
| Olgı sıra no | Olgı No | Tanı | EGFR gen amp. | P53 gen delesyon | MDM2 gen amp. | P16 gen delesyon |
|--------------|---------|---------------------|----------------|------------------|----------------|------------------|
| 1 | 5 | MM | Pozitif | Negatif | Negatif | Pozitif |
| 2 | 2 | MM | Pozitif | Negatif | Negatif | Negatif |
| 3 | 3 | Yüzeyel yayılan MM | Pozitif | Negatif | Negatif | Negatif |
| 4 | 10 | MM | Pozitif | Pozitif | Pozitif | Negatif |
| 5 | 15 | MM | Negatif | Negatif | Negatif | Negatif |
| 6 | 9 | Lentigo MM | Negatif | Negatif | Negatif | Negatif |
| 7 | 13 | Akral lentijinöz MM | Pozitif | Negatif | Pozitif | Negatif |
| 8 | 12 | Akral lentijinöz MM | Negatif | Negatif | Negatif | Negatif |
| 9 | 1 | Nodüler MM | Negatif | Negatif | Negatif | Negatif |
| 10 | 4 | Yüzeyel yayılan MM | Negatif | Negatif | Negatif | Negatif |
| 11 | 11 | MM | Negatif | Negatif | Negatif | Negatif |
| 12 | 8 | Yüzeyel yayılan MM | Negatif | Negatif | Negatif | Negatif |
| 13 | 16 | MM | Pozitif | Negatif | Negatif | Negatif |
| 14 | 6 | Lentigo MM | Negatif | Negatif | Negatif | Negatif |
| 15 | 14 | Nodüler MM | Negatif | Negatif | Negatif | Negatif |
| 16 | 7 | Akral lentijinöz MM | Pozitif | Negatif | Pozitif | Negatif |



Şekil 4.1. Malign melanom olgularına ait FISH sonuçları oranı

Tablo 4.4. Melanositik nevüs olgularına ait FISH sonuçları

| Olgu sıra no | Olgu No | Tanı | EGFR gen amp. | P53 gen delesyon | MDM2 gen amp. | P16 gen delesyon |
|--------------|---------|---|---------------|------------------|----------------|------------------|
| 17 | 28 | Displastik komound nevüs | Negatif | Negatif | Negatif | Negatif |
| 18 | 34 | Displastik komound nevüs | Negatif | Negatif | Negatif | Negatif |
| 19 | 24 | Displastik komound nevüs | Negatif | Negatif | Negatif | Negatif |
| 20 | 40 | Displastik komound nevüs | Negatif | Negatif | Negatif | Negatif |
| 21 | 27 | Displastik komound nevüs | Negatif | Negatif | Negatif | Negatif |
| 22 | 23 | Displastik komound nevüs | Negatif | Negatif | Negatif | Negatif |
| 23 | 22 | Displastik komound nevüs | Negatif | Negatif | Negatif | Negatif |
| 24 | 17 | Spitz nevüs | Negatif | Negatif | Negatif | Negatif |
| 25 | 32 | Spitz nevüs ile uyumlu junctional nevüs | Negatif | Negatif | Negatif | Negatif |
| 26 | 20 | Kompound nevüs | Negatif | Negatif | Negatif | Negatif |
| 27 | 25 | Displastik komound nevüs | Negatif | Negatif | Negatif | Negatif |
| 28 | 19 | Kompound nevüs | Negatif | Negatif | Negatif | Negatif |
| 29 | 29 | Kompound nevüs | Negatif | Negatif | Negatif | Pozitif |
| 30 | 35 | İnterdermalnevüs | Negatif | Negatif | Negatif | Negatif |
| 31 | 37 | Displastik komound nevüs | Negatif | Negatif | Negatif | Negatif |
| 32 | 18 | Displastik komound nevüs | Negatif | Negatif | Negatif | Negatif |
| 33 | 33 | Displastik komound nevüs | Negatif | Negatif | Pozitif | Negatif |
| 34 | 26 | Displastik komound nevüs | Negatif | Negatif | Negatif | Negatif |
| 35 | 38 | İntradermal nevüs | Negatif | Negatif | Negatif | Negatif |
| 36 | 30 | Kompound nevüs | Negatif | Negatif | Pozitif | Negatif |
| 37 | 21 | Kompound nevüs | Negatif | Negatif | Negatif | Negatif |
| 38 | 39 | İntradermal nevüs | Negatif | Negatif | Negatif | Negatif |
| 39 | 31 | Spitz nevüs | Negatif | Negatif | Pozitif | Negatif |
| 40 | 36 | Displastik komound nevüs | Negatif | Negatif | Negatif | Negatif |

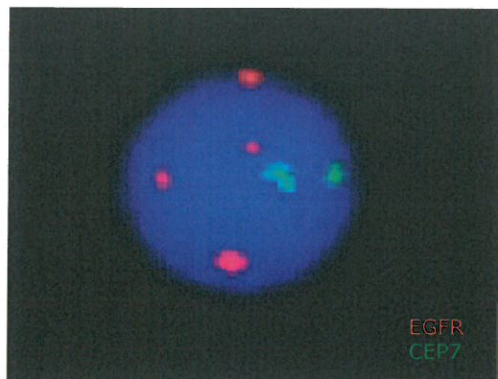


Şekil 4.2. Melanositik nevüs olgularına ait FISH sonuçları oranı

4.1.1. EGFR geni için FISH sonuçları

Çalışmamız sonucunda 16 malign melanom olgusunun 7'si (%43,75) EGFR gen amplifikasyonu açısından pozitif saptanmıştır. Bu olgulardan ikisi akral lentijinöz tip (olgu 7 ve 16), bir olgu yüzeysel yayılan tip melanom (olgu 11) iken geriye kalan dört olgunun alt tipi belirlenemistiir. Olgu 7 ve 16'da EGFR amplifikasyonun yanında MDM2 gen amplifikasyonu da gözlenmiştir. Olgu 1'de EGFR amplifikasyonun yanında P16 delesyonu gözlenmiştir. Olgu 4'te EGFR amplifikasyonun yanında MDM2 gen amplifikasyonu ve TP53 delesyonu da gözlenmiştir.

Düger çalışma grubumuz olan 24 melanositik nevüs olgularının tümünün EGFR gen amplifikasyonu açısından normal olduğu gözlenmiştir.

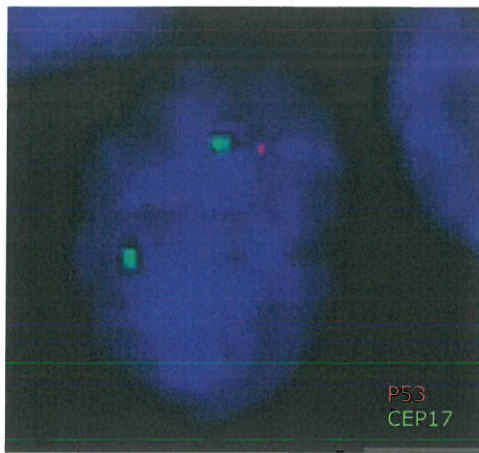


Şekil 4.3. Melanom örneklerinde EGFR gen bölgesinin amplifikasyonu FISH analiz görüntüsü

4.1.2. TP53 gen bölgesi için FISH sonuçları

Malign melanom olgularımızı TP53 gen delesyonu açısından incelediğimizde 1 olguda aberasyon saptadık. Bu olguda TP53 delesyonu EGFR ve MDM2 gen amplifikasyonlarına eşlik etmekteydi.

Düger çalışma grubumuz olan melanositik nevüs hastaların hiçbirinde TP53 delesyonu gözlenmemiştir.

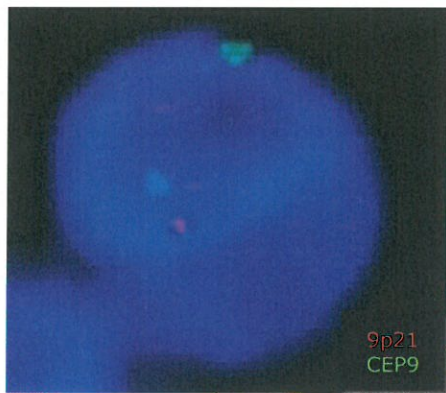


Şekil 4.4. Melanom örneklerinde TP53 gen bölgesinin delesyonu FISH analiz görüntüsü

4.1.3. P16 gen bölgesi için FISH sonuçları

Malign melanom olgularımızı P16 gen delesyonu açısından incelediğimizde 1 olguda aberasyon saptadık. Bu olguda P16 delesyonu EGFR gen amplifikasyonuna eşlik etmekteydi.

Diğer çalışma grubumuz olan melanositik nevüs hastalarında bir olguda P16 delesyonu gözlenmiştir. P16 delesyonu olan hasta komound nevüs (olgu 29) alt tipindedir.

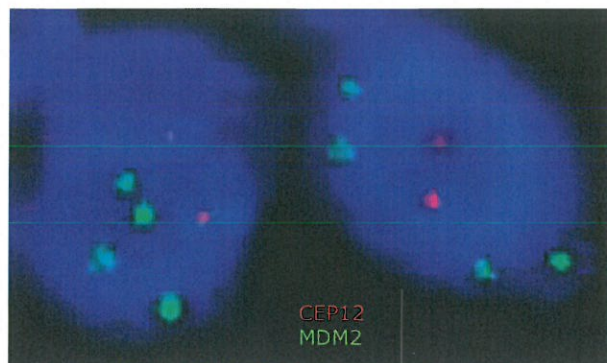


Şekil 4.5. Melanom örneklerinde P16 gen bölgesinin delesyonu FISH analiz görüntüsü

4.1.4. MDM2 gen bölgesi için FISH sonuçlar

Çalışmamız sonucunda 16 malign melanom olgusundan üç olguda (%18,75) MDM2 gen amplifikasyonu pozitif olarak gözlenmiştir. Bu üç olguda da EGFR amplifikasyonu MDM2 amplifikasyonuna eşlik etmekteydi.

Düzen çalışma grubumuz olan melanositik nevüs hastalarının içinde MDM2 amplifikasyonu saptanmıştır. MDM2 amplifikasyonu pozitif olan hastalar compound nevüs (olgu 30), spitz nevüs (olgu 39) ve displastik nevüs (olgu 33) altipleridir.



Şekil 4.6. Melanom örneklerinde MDM2 gen bölgesinin amplifikasyonu FISH analiz görüntüsü

4.2- İstatistiksel Değerlendirme Sonuç

Çalışmamızın sonucunda saptanan gen bölgelerindeki aberasyonların birbirleriyle ilişkili olup olmadığı Kappa testiyle değerlendirilmiştir. Kappa testi değerlendirmesi sonucunda EGFR gen amplifikasyonun, P16 ve TP53 gen delesyonları ile ilişkisi bulunamamıştır ($P > 0,05$). Ancak EGFR amplifikasyonu, MDM2 amplifikasyonu ile ilişkili bulunmuştur ve bu ilişki orta düzeyde saptanmıştır ($P < 0,05; 0,4 \leq \kappa \leq 0,6$) (Özdamar, 2013).

P16 gen delesyonu, TP53 gen delesyonu ve MDM2 gen amplifikasyonu ile ilişkisi bulunamamıştır ($P > 0,05$).

TP53 gen delesyonu ile MDM2 amplifikasyonu ilişkili bulunmuş ve bu ilişki orta düzeyde saptanmıştır ($P < 0,05; 0,4 \leq \kappa \leq 0,6$) (42).

Malign melanom ve melanositik nevüs olgularının FISH sonuçları χ^2 testi kullanılarak karşılaştırılmıştır. Malign melanom ve melanositik nevüs olguları arasında EGFR gen amplifikasyonu açısından anlamlı bir fark bulunmuştur ($P < 0,05$). İstatistiksel sonucu Tablo 4.5. te verilmiştir.

Ülser, lenf infiltrasyonu, büyümeye tipi ve kanser tipi ile; EGFR amplifikasyonu, MDM2 amplifikasyonu, TP53 delesyonu ve P16 delesyonu ile aralarında anlamlı ilişki bulunmamıştır.

Clark level, breslow kalınlığı ve mitoz oranı/mm² değişkenleri ile MDM2, P16 ve TP53 genetik analiz sonuçları arasındaki ilişki aberasyon saptanan olgu sayısının az olması sebebiyle değerlendirilememiştir. Mitoz oranı, Clark level ve breslow kalınlığı ile EGFR gen amplifikasyonu arasında anlamlı bir ilişki bulunamamıştır.

Tablo 4.5. EGFR amplifikasyonun malign melanom ve melanositik nevüs sonuçlarının karşılaştırılması

egfr * grup Crosstabulation

Count

| | grup | | Total |
|----------|---------|-------|-------|
| | melanom | nevus | |
| egfr neg | 9 | 23 | 32 |
| egfr poz | 7 | 0 | 7 |
| Total | 16 | 23 | 39 |

Chi-Square Tests

| | Value | df | Asymp. Sig. (2-sided) | Exact Sig. (2-sided) | Exact Sig. (1-sided) |
|------------------------------------|---------------------|----|-----------------------|----------------------|----------------------|
| Pearson Chi-Square | 12,264 ^a | 1 | ,000 | | |
| Continuity Correction ^b | 9,473 | 1 | ,002 | | |
| Likelihood Ratio | 14,778 | 1 | ,000 | | |
| Fisher's Exact Test | | | | ,001 | ,001 |
| Linear-by-Linear Association | 11,949 | 1 | ,001 | | |
| N of Valid Cases | 39 | | | | |

a. 2 cells (50,0%) have expected count less than 5. The minimum expected count is 2,87.

b. Computed only for a 2x2 table

5- TARTIŞMA

Çalışmamız Eskişehir Osmangazi Üniversitesi Tıp Fakültesi Tıbbi Genetik Anabilim Dalı'nda, Patoloji Anabilim Dalı'nda tanısı konulmuş melanositik lezyon olgularına ait örnekler çalışarak gerçekleştirılmıştır. Çalışma grubumuzu; onaltı malign ve yirmidört benign doku örneği oluşturmuştur. Çalışmamızda, malign melanom ve melanositik nevüs olgularında EGFR, P16, TP53 ve MDM2 gen bölgelerindeki aberasyonlar FISH yöntemi ile analiz edilmiştir.

5.1- Olgularda FISH ile Bulunan Aberasyonların Değerlendirilmesi

Çalışmamız sonucunda 16 malign melanom olgusunun 7'sinde (%43,75), 24 melanositik nevüs olgusunun 4'ünde (%17) aberasyon saptadık.

Rakosy ve arkadaşları 2007 yılında, EGFR gen kopya sayısının birincil deri malign melanomlarıyla olan ilişkisini araştırmışlardır. Araştırcılar birincil deri malign melanomlu 81 hastada FISH analiziyle EGFR gen amplifikasyonuna ve hastaların klinikopatolojik parametrelerin uyumuna bakmışlardır. Altı hastada EGFR gen amplifikasyonu bulunmuş. Ellidört hastada polizomi 7 bulunmuş ve bunların %72'sinde EGFR gen amplifikasyonu tespit edilmiştir. Tüm örneklerde CEP7 ve EGFR sinyalleri birlikte sayılmasına rağmen CEP7 kopya sayısı 1,7 ve 6 arasında, EGFR gen kopya sayısı ise 1 ila 8 sinyal arasında gözlenmiştir. Melanom hastalarında 7. kromozom polizomisi ile EGFR gen amplifikasyonun ilişkili olduğunu belirtmişlerdir. EGFR gen amplifikasyonunu düşük ($>\text{CEP } 7$, kopya sayısı <5) ve yüksek ($>\text{CEP } 7$, kopya sayısı >5) seviye olarak sınıflandırmışlardır. Düşük seviye EGFR gen amplifikasyonun protein ekspresyonu ilişkili olduğu ancak yüksek seviyeli amplifikasyonun protein ekspresyonuyla korale olmadığını savunmuşlardır. EGFR gen kopya sayısının melanom gelişiminde rol oynadığı ve terapötik müdahale gelişimi ile metastaz oluşumu için prognostik marker olarak kullanılabileceğini savunmuşlardır (Rákós et al., 2007).

Boone ve arkadaşları 2011 yılında, EGFR'nin melanomda klinik önemini ve tedavisel hedef olma potansiyelini araştırmışlardır. Sentinel lenf nodu durumu bilinen 114 melanom hastasının, melanom hücre dizilerinde EGFR gen amplifikasyonunu FISH yöntemiyle ve protein ekspresyonunu immünohistokimya ile araştırmışlardır. Bu melanom hücre dizilerine farklı konsantrasyonlarda cetuximab verilmiştir. Hastaların FISH analizi sonucunda 26'sında 7.kromozomun polizomisini bulmuşlardır. Çalışmanın sonucunda EGFR protein ekspresyonun sentinel lenf nodu ile ilişkili olduğunu ama sağ kalım süresiyle ilişkili olmadığını göstermişlerdir. EGFR polizomisi oranının tümör kalınlığı ile ilişkili olduğunu göstermişlerdir. Değişik

konsantrasyondaki cetuximab hücrelerin invaziv kapasitesini düşürmüştür ancak hücrelerin büyümeye yada yaşayabilirliğini değiştirmemiştir. Melanom gelişiminde ve metastazında EGFR geninin rolü olduğunu savunmuşlardır (Boone et al., 2011).

Gammon ve arkadaşları 2012 yılında, benign ve malign melanositik tümörlerin birbirinden ayrılması için yüksek özgünlüklu ve ayırmacı FISH analizi yapmışlardır. Malign ve benign ayırmak için 6p25(RREB1), 6q23(MYB), CEP6 (sentromer 6) ve 11q13(CCND1) içeren prob setinin faydalı olduğu bilinmektedir. Ancak bunların hassasiyetleri melanomlarda yaklaşık %70 oranındadır. Ayrıca deneyimsiz araştırmacılar tarafından gerçek tetraploidi kazançlarının yorumlanması zorluklar yaşanabilmektedir. Bu yüzden 152 melanom ve 170 nevi, toplam 322 tümörü 4 farklı gruba ayırarak çalışılmışlardır. Birinci grupta 31 melanom ve 34 nevi incelenmiş ve P16, CEP9, MYC, BRAF, CEP17, CEP10, ZNF217 ve COX2 bölgelerine bakılmıştır. İkinci grupta 49 melanom ve 51 nevi, 3. grupta 72 melanom ve 85 nevi, 4. grupta 51 melanom ve 51 nevi incelenmiş ve RREB1, P16, CCND1 ve MYC bölgelerine bakılmıştır. P16'nın melanom ve nevi arasında ayırt edici özelliği gözlenmiştir. Bu çalışmada melanomlarda sık sık P16 delesyonu gözlemlenirken benign nevilerde hiç gözlenmemiştir. Ayrıca çalışmada P16 delesyonu özellikle spitzoid melanomlarda daha sık gözlenmiştir. Melanomlarda P16 gen bölgesinin, FISH prob hedefleri arasına konmasını tavsiye etmişlerdir. Sonuç olarak seçikleri 6p25, 9p21, 11q13 ve 8q34 prob setinin önceden kullanılan prob setinden daha faydalı olabileceğini göstermişlerdir (Gammon, Beilfuss, Guitart, & Gerami, 2012).

Karsinogenezde önemli role sahip olduğu bilinen TP53 genin delesyon ya da mutasyonu tüm kanser çeşitlerinde gözükmez (Freedman et al., 1999). Ancak TP53 yolağının tüm kanser türlerinde fonksiyonel inaktivasyonunun etkili olduğu düşünülmektedir (Vogelstein et al., 2000). Malign melanomda TP53 yolağının fonksiyonel inaktivasyonu ve TP53 genin etkisini göstermeyi amaçlayan Chin ve arkadaşları, TP53 mutant fare üretmişlerdir. Bu fareler halihazırda yabanıl tip TP53 aleli LOH(Loss of heterozygosity) karakterize kutanöz melanoma geliştirmiştir ve TP53 normal olan ancak P16 delesyonlu melanoma modelinin moleküller ayna görüntüsü olarak bildirilmiştir. Sözü edilen fare genetik çalışmaları melanoma baskılanmasında görevli olan TP53 yolağının P16-TP53 inaktivasyonu nedeniyle işlevsel kayiba uğradığını düşündürmektedir (Chin et al., 2006).

Muthusamy ve arkadaşları 2006 yılında, 53 hastanın kültüre edilmemiş melanom örneklerinden CDK4 ve MDM2 amplifikasyon durumunu incelemiştir. Elli üç hastadan 3 tanesinde CDK4 ve MDM2 amplifikasyonu bulmuşlardır. MDM2 amplifikasyonun ya da aşırı ekspresyonun TP53 tümör süppresör geni fonksiyonel olarak

baskıladığı gözlemlemişlerdir. Ayrıca MDM2 geni P16 tümör süpresör genin ürünü olan P14ARF proteini tarafından denetlendiğini savunmuşlardır (Muthusamy et al., 2006). Chin ve arkadaşları da ARF-MDM2-TP53 yolliğini desteklemışlardır. Bu yolak üzerinde MDM2 gen amplifikasyonun insan melanomlarının %3-%5 arasında gözlendiğini genel olarak TP53 genin fonksiyonel kaybının P16 delesyonlarından kaynaklanabileceğini savunmuşlardır (Chin et al., 2006).

Muthusamy ve arkadaşları da MDM2 ve CDK4 gen amplifikasyonlarının melanom üzerindeki etkisini incelerken ARF-MDM2-TP53 yollığının işlevini doğrulamışlardır (Muthusamy et al., 2006). Malign melanom: genomik çağda genetik ve terapötikler adlı review çalışmasında Chin ve arkadaşları, melanomda TP53 genin fonksiyonel baskılanmasının yolaklarını ve bu yolaklardan ARF-MDM2-TP53 yollığının işlevlerini göstermişlerdir (Chin et al., 2006).

Malign melanom hastalığı üzerine yapılan çalışmalar sonucunda EGFR, P16, TP53 ve MDM2 gen bölgelerinin hastalığın gelişimi ve metastazında rol oynayabileceklerini savunmuşlardır. Çalışmamız sonucunda melanom olgularında EGFR amplifikasyonu %43,75 oranında saptanmıştır. EGFR amplifikasyonu pozitif hastaların %42,85'inde MDM2 amplifikasyonu da eşlik etmektedir. Bulgularımız Rakosy ve arkadaşları ile Boone ve arkadaşları ortaya koydukları, melanom gelişimi ve metastazında EGFR gen amplifikasyonun ilişkisini doğrular niteliktedir. EGFR amplifikasyonu malign melanom olgularının 7'sinde pozitif bulunurken melanositik nevüs olgularda gözlenmemiştir. Çalışmamızda 16 malign melanom olgusunda 1 tanesinde P16 delesyonu ile EGFR amplifikasyonu birlikte bulunmuştur. Melanositik nevüslerden 1 tanesinde sadece P16 delesyonu bulunmuştur. Ancak melanositik nevüs olgularında P16 delesyonu hakkında kaynak bulunamamıştır. TP53 delesyonu 16 melanom olgusunda 1(olgu 10) tane saptanmıştır ve delesyonun yanında MDM2 ve EGFR gen amplifikasyonu da görülmüştür. İki olguda (olgı 13 ile olgu 7) MDM2 amplifikasyonu ve EGFR amplifikasyonu vardır. Bu iki olgunun patolojik özellikleri benzerlik göstermektedir. Ancak olgu 10 ile farklı patolojik özellikler göstermektedir.

Gammon ve arkadaşlarının, benign ve malign melanositik tümörlerin birbirinden ayrılması için yaptıkları çalışmada EGFR genini tercih etmemiştirlerdir. Oysa ki Rakosy ve arkadaşları EGFR gen kopya sayısının melanom gelişmesinde rol oynadığını ve prognostik marker olarak kullanabileceğini savunmuşlardır. Boone ve arkadaşları da yaptıkları çalışmada EGFR polizomisinin tümör kalınlığı ile ilişkili olduğunu göstermişlerdir. Bizim çalışmamızda EGFR gen amplifikasyonun, malign melanom olgularının histopatolojik özellikleri ile anlamlı bir ilişkisi bulunamamıştır. Ancak malign melanom

olgularında %43,75 oranında bulduğumuz EGFR amplifikasyonu açısından istatistiksel olarak melanositik nevüs olguları arasında anlamlı bir fark bulunmuştur. Çalışmamızda ayrıca EGFR gen amplifikasyonu ve MDM2 amplifikasyonu arasında orta düzeyde bir uyumluluk bulunmuştur. Muthusamy ve arkadaşları çalışmalarında TP53 tümör süppresör geni fonksiyonel olarak baskılanmasında MDM2 amplifikasyonun ya da aşırı ekspresyonun etkili olduğunu gözlemişlerdir. Ayrıca P16 tümör süppresör geninin MDM2 genini denetlediğini savunmuşlardır. Buna ek olarak malign melanomda MDM2 geni ile EGFR geni arasındaki ilişkinin de araştırılmasının faydalı olabileceğini düşünmektediriz.

Muthusamy ve arkadaşlarının gösterdikleri MDM2 amplifikasyonu ile TP53 delesyonu arasındaki uyum bizim çalışmamızda da bulundu. Ancak MDM2 gen amplifikasyonu ile EGFR gen amplifikasyonu arasında uyum bulmamıza rağmen TP53 delesyonu ile EGFR gen amplifikasyonu arasında bir uyum bulamadık. Çalışmamız sonucunda, Muthusamy ve arkadaşlarının öngördükleri ARF-MDM2-TP53 yolağın dışında malign melanom gelişmesinde MDM2 ve EGFR genlerinin içerdeği başka bir yolak daha olabileceğini ya da ARF-MDM2-TP53 yolağının henüz fark edilememiş farklı kısımlarının olabileceğini düşündürdü.

Sonuç olarak çalışmamız dışında malign melanomlarda EGFR, MDM2, TP53 ve P16 genlerinin birlikte incelendiği bir çalışma araştırdığımız kadariyla bulunamamıştır. Bu genlerin birbirleriyle bağlantılarını farklı araştırma grupları çalışmış olsalar da hepsi birlikte incelenmemiştir. Biz çalışmamızda bu genleri FISH yöntemi kullanarak inceledik. Çalışmamız sonucunda: EGFR amplifikasyonu açısından malign melanom olguları ile melanositik nevüs olguları arasında anlamlı bir farklılık bulunması, malign melanom gelişmesi ve farklılaşması açısından önemlidir. Ayrıca MDM2 ve EGFR amplifikasyonları arasında uyum bulmuş olmamız malign melanom patogenezinin anlaşılması için yeni bilgiler bulabileceğimizi göstermektedir.

5.2- Melanom Olgularında EGFR gen kopya sayısının oranlarının karşılaştırılması

Çalışmamız sonucunda 16 malign melanom olgusunun 7'sinde (%43,74) EGFR kopya sayısı artışı saptanmıştır ve bu 7 olgudan 2 olguda MDM2 kopya sayı artışı ile beraber gözlenmiştir. Bir olguda P16 delesyonu ile beraber, bir başka olguda MDM2 gen kopya sayısı artışının yanında TP53 delesyonu ile beraber gözlenmiştir.

Rakosy ve arkadaşları 2007 yılında yaptıkları çalışmada 81 malign melanomlu 6 olguda sadece EGFR amplifikasyonu

gözlemişlerdir. Elli dört hasta ise 7.kromozom polizomi bulmuşlar ve bunların %72'sinde EGFR gen amplifikasyonu tespit etmişlerdir. Yedinci kromozom polizomisinin EGFR gen kopya sayısını artırdığını böylece EGFR gen amplifikasyonunun etkisi oluşturduğunu savunmuşlardır (Rákossy et al., 2007).

Boone ve arkadaşları 2011 yılında 114 melanomlu hasta da 26'sında (%27,7), 7. kromozom poliploidisini bulmuşlardır. Ancak sadece EGFR gen amplifikasyonu bulamamışlardır (Boone et al., 2011).

Çalışmamız sonuçları, malign melanom hastalarında 7. kromozom polizomisi gözlenmemiştir. EGFR gen amplifikasyonu melanositik nevüs olgularda hiç görülmemiştir ve malign melanom olguların histopatolojik özellikleri ile ilişki bulunmamıştır. EGFR gen amplifikasyonu açısından malign melanom ve melanositik nevüs olguları arasında istatistiksel olarak anlamı bir fark bulunmuştur. Ayrıca MDM2 gen amplifikasyonu ile uyumlu bulunmuştur. EGFR geni ile MDM2 geni arasında bulunan bu uyumun moleküller düzeyde de araştırılarak tümör oluşum ve gelişimi hakkında yeni ipuçları elde edilebileceği düşüncesindeyiz.

EGFR gen amplifikasyonu açısından malign melanom ile melanositik nevüs olguları arasında anlamlı bir fark olması nedeniyle ayırıcı tanıda kullanabileceği düşüncesindeyiz.

5.2- Melanom olgularında P16 yeniden düzenlenmesinin oranın karşılaştırılması

Çalışmamızda malign melanom olgularında %6,25 oranında P16 delesyonu ve melanositik nevüs olgularında %4 oranında P16 delesyonu saptanmıştır. Ancak çalışmamızda P16 homozigot delesyonu bulmadık.

Gammon ve arkadaşları 2012 yılında, 152 melanoma ve 172 nevi üzerinde yaptıkları çalışmada P16 delesyonunu melanomların yaklaşık %50'sinde gözlenmiş ancak hiçbir benign lezyonda gözlememişlerdir (Gammon et al., 2012). Redon ve arkadaşları 2017 yılında, 24 spitzoid ve/veya yanlış tanımlanan melanositik tümörleri P16-Ki67-HMB45 immünohistokimya yöntemi, melanom kiti (6p25, 6q23, CEP6, 11q13) ile melanom kiti dışı (CEP3, CEP7, 9p21, CEP17, CEP8, CEPX, CEPY, 13q14, 21q22) FISH problemleri ve CGH array yönetimiyle analiz etmişlerdir. 24 örnek FISH problemleri kullanılarak 8 melanom, 2 atipikal spitzoid tümör ve 14 poliplodili nevi olarak sınıflandırılmışlardır. 13 nevi ve 8 melanom P16-Ki67-HMB45 immünohistokimya skoru ile FISH analizleri uyumlu çıkmıştır. Sadece 1 olgularında P16-Ki67-HMB45 immünohistokimya skoru spitz nevüs

tanısı konulmuşsa da FISH analizinde melanomlara özgü saptanan P16 çift delesyonu saptamışlardır. Sonuç olarak histoloji ve immünohistokimya arasındaki tutarsızlıklarda sitogenetik analizlerden faydalanyılması gerektiğini önermişlerdir (Redon, Guibourg, Talagas, Marcopelis, & Uguen, 2017).

Bizim çalışmamızda P16 delesyon oranı bu kadar yüksek çıkmamıştır ve 1 tane melanositik nevüs olgusunda P16 delesyonu saptanmıştır. P16 delesyonunun görülmeye sikliğinin düşük olmasının nedeni örneklem grubumuzun malign melanom alttip çeşitliğinin fazla ve örneklem sayımızın az olmasından kaynaklanabileceğini düşünmektedir. Gammon ve arkadaşlarının çalışmasında P16 delesyonlarının malign ve benign sınıflandırılmasında kullanabileceğini öngörmüşlerdir. Bu nedenle P16 delesyon saptadığımız melanositik nevüs olgusunun histopatolojik değerlendirilmesinin tekrar yapılması gerektiğini düşünmektedir.

P16 delesyonu litaretürlerdeki bulunma yüzdesinden düşük çıkmıştır. Bu durumun örneklem sayısının az olmasında kaynaklı olabileceğini veya Türkiye'deki toplum için malign melanomda P16 delesyon oranın düşük olabileceğini düşünmektedir. Bu ikilemi ortadan kaldırmak için çok daha geniş örneklem grubuyla hem FISH yöntemi hem de moleküller yöntemle P16 delesyon araştırmasını önermektedir.

5.3- Melanom olgularında TP53 yeniden düzenlenmesinin oranın karşılaştırılması

Çalışmamızda 16 malign melanom olgusunda 1 tanesinde TP53 delesyonu ile EGFR amplifikasyonu ve MDM2 amplifikasyonu birlikte bulunmuştur. TP53 genin delesyon ya da mutasyonu tüm kanser çeşitlerinde gözükmez. Özellikle malign melanomlarda TP53 delesyon ya da mutasyonu çok ender gözükmektedir (Freedman et al., 1999). TP53 genin fonksiyonel baskılanmasının olduğu malign melanomlar gözlenmektedir (Chin et al., 2006). Chin ve arkadaşları yaptığı çalışmaya TP53 genin fonksiyonel çalışma yolaklarını göstermişlerdir. Bu yolaklardan biri de ARF-MDM2-TP53 yolağıdır. Bu yolak üzerinde meydana gelebilecek değişiklikler TP53 fonksiyonel olarak baskılanmasına sebep olacaktır. Çalışmamızda TP53 delesyonu görmediğimiz ancak MDM2 amplifikasyonu saptadığımız olgularda ARF-MDM2-TP53 yolağından sapma olabileceğini düşünmektedir. Bu düşüncenin doğrulanması için olguların moleküller yöntemle analiz edilmesi gerekmektedir.

5.4- Melanom olgularında MDM2 kopya sayısının oranlarının karşılaştırılması

Çalışmamızda 16 malign melanom olusunun 3 tanesinde (%18.75) MDM2 amplifikasyonu, EGFR amplifikasyonu ile beraber gözlenmiştir. Melanositik nevüslerde 3 olguda sadece MDM2 amplifikasyonu gözlenmiştir. Yapılan bir çalışmada TP53 fonksiyonel kaybının MDM2 geninin amplifikasyonu sonucunda ortaya çıktığı raporlanmış ve malign melanomlarda görülme sikliğinin %3 ila %5 arasında olduğu belirtilmiştir (Muthusamy et al., 2006). Muthusamy ve arkadaşları 2006 yılında, elli üç hastadan 3 tanesinde MDM2 amplifikasyonu bulmuşlardır. Chin ve arkadaşları bu çalışmayı desteklemiştirlerdir ve ARF-MDM2-TP53 yolağının işlevini göstermişlerdir. Bizim çalışmamızda MDM2 amplifikasyonu malign melanomlarda öngörülen görülme sikliğinden yüksek çıkmıştır ve MDM2 amplifikasyonu ile TP53 delesyonu arasında bir uyum bulunmuştur. MDM2 amplifikasyonun görülme sikliğinin yüksek olmasının nedeni örneklem grubumuzun malign melanom alttip çeşitliğinden kaynaklanabileceğini düşünmektedir.

Melanositik nevüs olgularında gözlediğimiz MDM2 amplifikasyonu dikkat çekicidir. MDM2 amplifikasyonu saptadığımız 3 melanositik nevüs olusunda tanılarının doğruluğu için tekrardan histopatolojik değerlendirmesi ve MDM2 amplifikasyon farklı bir yöntemle gösterebilmek için CGH-array yapılmasını düşünmektedir. Üç olgunun tanısı doğruysa melanositik nevüs olgularının MDM2 ile TP53 genleri arasındaki uyumun incelenmesi gerektiğini düşünmektedir.

Malign melanom olgularında EGFR ve MDM2 amplifikasyonu pozitif olgularda P16 ve TP53 genin mutasyon çalışma yapılması, genlerin arasındaki ilişkilerin açıklanmasında faydalı olabilir. Ayrıca MDM2 amplifikasyonu pozitif melanositik nevüslerde P16 ve TP53 gen mutasyonu çalışmalarının yapılması, genlerin arasındaki ilişkilerin açıklanmasında ve histopatolojik değişimi hakkında bilgi toplanmasında faydalı olabilir.

6- SONUÇ VE ÖNERİLER

Çalışmamızda, malign melanom olgularında EGFR, P16, TP53 ve MDM2 gen bölgelerin aberasyonlarını FISH yöntemi ile ortaya konması amaçlanmıştır.

Çalışmamızda;

- Malign melanom olgularının %43,75'inde aberasyon saptanmıştır.
- Görülme oranı en yüksek olan aberasyon EGFR gen amplifikasyonu (%43,75) olarak belirlenmiştir.
- EGFR gen amplifikasyonu açısından malign melanom ve melanositik nevüs olguları arasında anlamlı bir fark bulunmuştur.
- Melanositik nevüs olgularının içinde MDM2 amplifikasyonu ve birinde P16 delesyonu saptanmıştır.
- EGFR amplifikasyonu ile MDM2 amplifikasyonu arasında uyum bulunmuştur. Bu ilişki orta düzeyde saptanmıştır.
- MDM2 amplifikasyonu ile TP53 delesyonu arasında uyum bulunmuştur. Bu ilişki orta düzeyde saptanmıştır.
- EGFR, P16, TP53 ve MDM2 gen aberasyonları ile histopatolojik özellikler arasında anlamlı bir ilişkili bulunmamıştır.

Malign melanom olgularında EGFR genin amplifikasyonu tümör gelişimi açısından önemlidir. EGFR genin amplifikasyonu malign melanomda yüksek oranda görülmektedir. Malign melanom ve melanositik nevüs olguları arasında EGFR gen amplifikasyonu açısından önemli bir farklılık saptamamız sebebiyle, melanom ile nevüs tanısı ayrimında kullanılabilir olabileceği düşüncemizdeyiz.

Malign melanomda MDM2 geni ile EGFR geni arasında bulunan uyumun moleküller düzeyde de araştırılarak tümör oluşum ve gelişimi hakkında yeni ipuçları elde edebileceğimiz düşüncemizdeyiz.

Çalışmamızda melanositik nevüs olgularında gözlediğimiz MDM2 gen amplifikasyonu dikkat çekicidir. Tümör gelişimde önemli rol oynayan TP53 genin fonksiyonel baskılıyıcı genlerinden olan MDM2 geninin melanositik nevüslerde moleküller düzeyde çalışılarak olası tümör gelişimi hakkında bilgi verebileceği düşüncemizdeyiz.

KAYNAKLAR DİZİNİ

- Anlar, S. D. (2012). Melanositik tümörlerde DNA kopya sayısı ve kromozomal değişikliklerin floresan *in situ* hibridizasyon yöntemi ile değerlendirilmesi, ayrıca tanı ve prognostik öneminin araştırılması, Uzmanlık Tezi, Çukurova Üniversitesi, Tıp Fakültesi, Patoloji Anabilim Dalı, Adana
- Arsav, V. (2006). Benign, sınırlı ve malign pigmenter deri lezyonlarında ayrıca tanısında VEGF, BFGF, P- CADHERİN ve E-CADHERİN'in rolü, Tıpta Uzmanlık Tezi, Erciyes Tıp Fakültesi, Kayseri
- Bogdan, I., Burg, G., & Böni, R. (2001). Spitz nevi display allelic deletions. *Archives of dermatology*, 137(11), 1417-1420.
- Boone, B., Jacobs, K., Ferdinand, L., Taïdeman, J., Lambert, J., Peeters, M., . . . Brochez, L. (2011). EGFR in melanoma: clinical significance and potential therapeutic target. *Journal of cutaneous pathology*, 38(6), 492-502.
- Boyle, P., & Levin, B. (2008). *World cancer report 2008*: IARC Press, International Agency for Research on Cancer.
- Chin, L., Garraway, L. A., & Fisher, D. E. (2006). Malignant melanoma: genetics and therapeutics in the genomic era. *Genes & development*, 20(16), 2149-2182.
- Cooper, G. M., & Hausmen, R. E. (2006). Hücre: Moleküller Yaklaşım (M. Sakızlı & N. Atabey, Çev), 3.baskı. İzmir : İzmir Tıp Kitapevi
- Çelik, İ., Sevinç, A., Büyükberber, S., Çoşkun, U., Yalçın, B., Mandel, N. M., Sağlam, E. K., Gökmen, E., Çoşkun, H. Ş., Abalı, H., Demirkesen, C., Akbulut, H., Erkin, G., Tezel, G. G., Gültekin, M., Boztaş, G., Gökoz, Ö., (2012). Türkiye melanom yol haritası melanom çalışma grubu
- Doğan, A. L., & Güç, D. (2004). Sinyal iletimi mekanizmaları ve kanser. *Acta Medica*, 35(1), 34-42.
- Erenler, B. H. (2010). Melanositik nevüs ve malign melanom tanısında kullanılan immünohistokimyasal belirleyicilerin karşılaştırılması, Ondokuz Mayıs Üniversitesi, Tıp fakültesi, Samsun

KAYNAKLAR DİZİNİ(Devam Ediyor)

- Eren, E. (2006). Hepatoselüler Karsinomda MDM2 Gen Polimorfizmleri, Yüksek Lisans Tezi, Ankara Üniversitesi Biyoteknoloji Enstitüsü, Ankara
- Freedman, D., Wu, L., & Levine, A. (1999). Functions of the MDM2 oncoprotein. *Cellular and Molecular Life Sciences CMLS*, 55(1), 96-107.
- Gammon, B., Beilfuss, B., Guitart, J., & Gerami, P. (2012). Enhanced detection of spitzoid melanomas using fluorescence in situ hybridization with 9p21 as an adjunctive probe. *The American journal of surgical pathology*, 36(1), 81-88.
- Goldstein, A. M., Chan, M., Harland, M., Gillanders, E. M., Hayward, N. K., Avril, M.-F., . . . Bressac-de Paillerets, B. (2006). High-risk melanoma susceptibility genes and pancreatic cancer, neural system tumors, and uveal melanoma across GenoMEL. *Cancer research*, 66(20), 9818-9828.
- Groeger, A., Odocha, O., Mueller, M., Salat, A., Mallinger, R., Baumgartner, S., . . . Kaiser, H. (1997). Racial variation in lung cancer. *Anticancer research*, 17(4A), 2843-2848.
- Hay, T. J., & Meek, D. W. (2000). Multiple sites of in vivo phosphorylation in the MDM2 oncoprotein cluster within two important functional domains. *FEBS letters*, 478(1-2), 183-186.
- Hodis, E., Watson, I. R., Kryukov, G. V., Arold, S. T., Imielinski, M., Theurillat, J.-P., . . . Place, C. (2012). A landscape of driver mutations in melanoma. *Cell*, 150(2), 251-263.
- Köktürk, N., Öztürk, C., & Kırışoğlu, C. (2003). Sigara ve akciğer kanseri. *Solunum*, 5(3), 139-145.
- LeBoit, P. E., Burg, G., Weedon, D., Sarasin, A., World Health Organization Classification of Tumours "Pathology and Genetics of Skin Tumours" Lyon: IARC Press 2006: 50-120
- Mayo, L. D., Turchi, J. J., & Berberich, S. J. (1997). Mdm-2 phosphorylation by DNA-dependent protein kinase prevents interaction with p53. *Cancer research*, 57(22), 5013-5016.

KAYNAKLAR DİZİNİ(Devam Ediyor)

- Muthusamy, V., Hobbs, C., Nogueira, C., Cordon-Cardo, C., McKee, P. H., Chin, L., & Bosenberg, M. W. (2006). Amplification of CDK4 and MDM2 in malignant melanoma. *Genes, Chromosomes and Cancer*, 45(5), 447-454.
- Nicholson, R., Gee, J., & Harper, M. (2001). EGFR and cancer prognosis. *European journal of cancer*, 37, 9-15.
- Özdamar, K.(2013). *Paket programlar ile istatistiksel veri analizi 1*, 9.baskı. Ankara: Nisan Kitabevi.
- Pomerantz, J., & Schreber-agus, N. (1998). The INK4a tumor suppressor gene product, P19ARF, interacts with MDM2 and neutralizes MDM2's inhibition of p53. *Cell*, 92; 713-723.
- Rákosy, Z., Vízkeleti, L., Ecsedi, S., Vokó, Z., Bégány, Á., Barok, M., . . Ádány, R. (2007). EGFR gene copy number alterations in primary cutaneous malignant melanomas are associated with poor prognosis. *International journal of cancer*, 121(8), 1729-1737.
- Redon, S., Guibourg, B., Talagas, M., Marcorelles, P., & Uguen, A. (2017). A Diagnostic Algorithm Combining Immunohistochemistry and Molecular Cytogenetics to Diagnose Challenging Melanocytic Tumors. *Applied immunohistochemistry & molecular morphology: AIMM*.
- Rieder, H., Bonwetsch, C., Janssen, L. A. J., Maurer, J., Janssen I. W. G., Schwartz, S., Ludwing, W. D., Gasmann, W., Bartram, C. R., Thial, E., Löffler, H., Gökbüget, N., Holzer, D., Fonatsch, C., 1998, High rate of chromosome abnormalities detected by fluorescence in situ hybridization using BCR and ABL probes in adult acute lymphoblastic leukemia, *Leukemia*, 12:1473-1481
- Rigel, D. S. (2010). Epidemiology of melanoma. *Semin Cutan Med Dec*;29(4):2049.
- Sequist, L. V., Bell, D. W., Lynch, T. J., & Haber, D. A. (2007). Molecular predictors of response to epidermal growth factor receptor antagonists in non-small-cell lung cancer. *Journal of Clinical Oncology*, 25(5), 587-5

KAYNAKLAR DİZİNİ(Devam Ediyor)

- Shieh, S.-Y., Ikeda, M., Taya, Y., & Prives, C. (1997). DNA damage-induced phosphorylation of p53 alleviates inhibition by MDM2. *Cell*, 91(3), 325-334.
- Sini, M. C., Manca, A., Cossu, A., Budroni, M., Botti, G., Ascierto, P. A., . . . Casula, M. (2008). Molecular alterations at chromosome 9p21 in melanocytic naevi and melanoma. *British Journal of Dermatology*, 158(2), 243-250.
- Işık, S. (2014). Malign melanom olgularında moleküler sitogenetik çalışmalar, Yüksek Lisans Tezi, Eskeşehr Osmangazi Üniversitesi, Sağlık Bilimleri Enstitüsü, Tıbbi Genetik Anabilimdalı, Eskeşehr
- Şimşek, H. A. (2009). Derinin melanositik lezyonlarının ayırcı tanısında moleküler yöntemlerin katkısı, Uzmanlık tezi, Gülhane Askeri Tıp Akademisi, Ankara
- Sümer-Turanlıgil, N. C., & Uyanıkgil, Y. (2010). Hücre İçi Sinyal Yolakları ve Klinik Yansımaları. *Arşiv Kaynak Tarama Dergisi*, 19(3).
- Vogelstein, B., Lane, D., & Levine, A. J. (2000). Surfing the p53 network. *Nature*, 408(6810), 307.
- Wade, M., Li, Y.-C., & Wahl, G. M. (2013). MDM2, MDMX and p53 in oncogenesis and cancer therapy. *Nature Reviews Cancer*, 13(2), 83.
- Zhang, Y., Xong, Y., & Yarbrough, W. G. (1998). ARF promotes MDM2 degradation and stabilizes p53: ARF-INK4a locus deletion impairs both the Rb and p53 tumor suppression pathways. *Cell*, 92; 725-734.

ÖZGEÇMİŞ

Bireysel Bilgiler

Adı Soyadı : Tolga TÖRE

Doğum Tarihi ve Yeri : 03.06.1988 KARAMAN

Uyruğu : T.C.

Medeni Durumu : Bekar

İletişim Adresleri : Tunalı Mah. Sevim Sok 3/7
Tepebaşı/ESKİŞEHİR

Eğitim Durumu

1996-1998: İlköğretim, Şeker İlköğretim Okulu

1998-1999: İlköğretim, Cumhuriyet İlköğretim Okulu

1999-2002: İlköğretim, Cumhuriyet İlköğretim Okulu

2002-2006: Lise, Ali Güray Lisesi - KÜTAHYA

2006-2011: Lisans, Hacettepe Üniversitesi Fen Fak. Biyoloji Bölümü

2012-2018: Y.Lisans, ESOGÜ Sağlık Bilimleri Enstitüsü Tıbbi Genetik A.D.

Yabancı Diller: İngilizce

Katıldığı Ulusal Bilimsel Toplantılar

1. XI. Ulusal Tıbbi Genetik Kongresi, Eylül, 2014, İstanbul